

Hierarchical Clustering Dendrogram - gap: -1.00, Tp: 0.25, ward link



Cophenetic Correlation Coefficient: 0.6710981089235792

Average values of 15 clustering indices
gap: -1.00, Tp: 0.25, ward link

k	AR	FM	J	AW	VD	H	F	VI	K	Phi	RT	SS	CVNN	S	Dunn
2	1.0	1.0	1.0	1.0	0.176	1.0	1.0	0.272	1.0	0.0	1.0	1.0	2.0	0.533	0.455
3	1.0	1.0	1.0	1.0	0.259	1.0	1.0	0.441	1.0	0.0	1.0	1.0	2.0	0.689	0.455
4	1.0	1.0	1.0	1.0	0.312	1.0	1.0	0.569	1.0	0.0	1.0	1.0	1.999	0.767	0.455
5	1.0	1.0	1.0	1.0	0.34	1.0	1.0	0.665	1.0	0.0	1.0	1.0	1.999	0.813	0.455
6	1.0	1.0	1.0	1.0	0.364	1.0	1.0	0.745	1.0	0.0	1.0	1.0	1.999	0.844	0.455
7	1.0	1.0	1.0	1.0	0.384	1.0	1.0	0.814	1.0	0.0	1.0	1.0	1.998	0.867	0.455
8	1.0	1.0	1.0	1.0	0.395	1.0	1.0	0.871	1.0	0.0	1.0	1.0	1.998	0.883	0.455
9	1.0	1.0	1.0	1.0	0.406	1.0	1.0	0.923	1.0	0.0	1.0	1.0	1.998	0.896	0.455
10	1.0	1.0	1.0	1.0	0.415	1.0	1.0	0.969	1.0	0.0	1.0	1.0	1.997	0.907	0.455
11	1.0	1.0	1.0	1.0	0.422	1.0	1.0	1.011	1.0	0.0	1.0	1.0	1.997	0.915	0.455
12	1.0	1.0	1.0	1.0	0.428	1.0	1.0	1.05	1.0	0.0	1.0	1.0	1.997	0.922	0.455
13	1.0	1.0	1.0	1.0	0.433	1.0	1.0	1.084	1.0	0.0	1.0	1.0	1.996	0.928	0.455
14	1.0	1.0	1.0	1.0	0.439	1.0	1.0	1.119	1.0	0.0	1.0	1.0	1.996	0.933	0.455
15	1.0	1.0	1.0	1.0	0.441	1.0	1.0	1.148	1.0	0.0	1.0	1.0	1.996	0.938	0.455
16	1.0	1.0	1.0	1.0	0.446	1.0	1.0	1.177	1.0	0.0	1.0	1.0	1.995	0.942	0.455
17	1.0	1.0	1.0	1.0	0.448	1.0	1.0	1.204	1.0	0.0	1.0	1.0	1.995	0.945	0.455
18	1.0	1.0	1.0	1.0	0.451	1.0	1.0	1.229	1.0	0.0	1.0	1.0	1.995	0.948	0.455
19	1.0	1.0	1.0	1.0	0.453	1.0	1.0	1.252	1.0	0.0	1.0	1.0	1.994	0.951	0.455
20	1.0	1.0	1.0	1.0	0.455	1.0	1.0	1.275	1.0	0.0	1.0	1.0	1.994	0.953	0.455

Hierarchical Clustering Dendrogram - gap: -0.90, Tp: 0.25, ward link



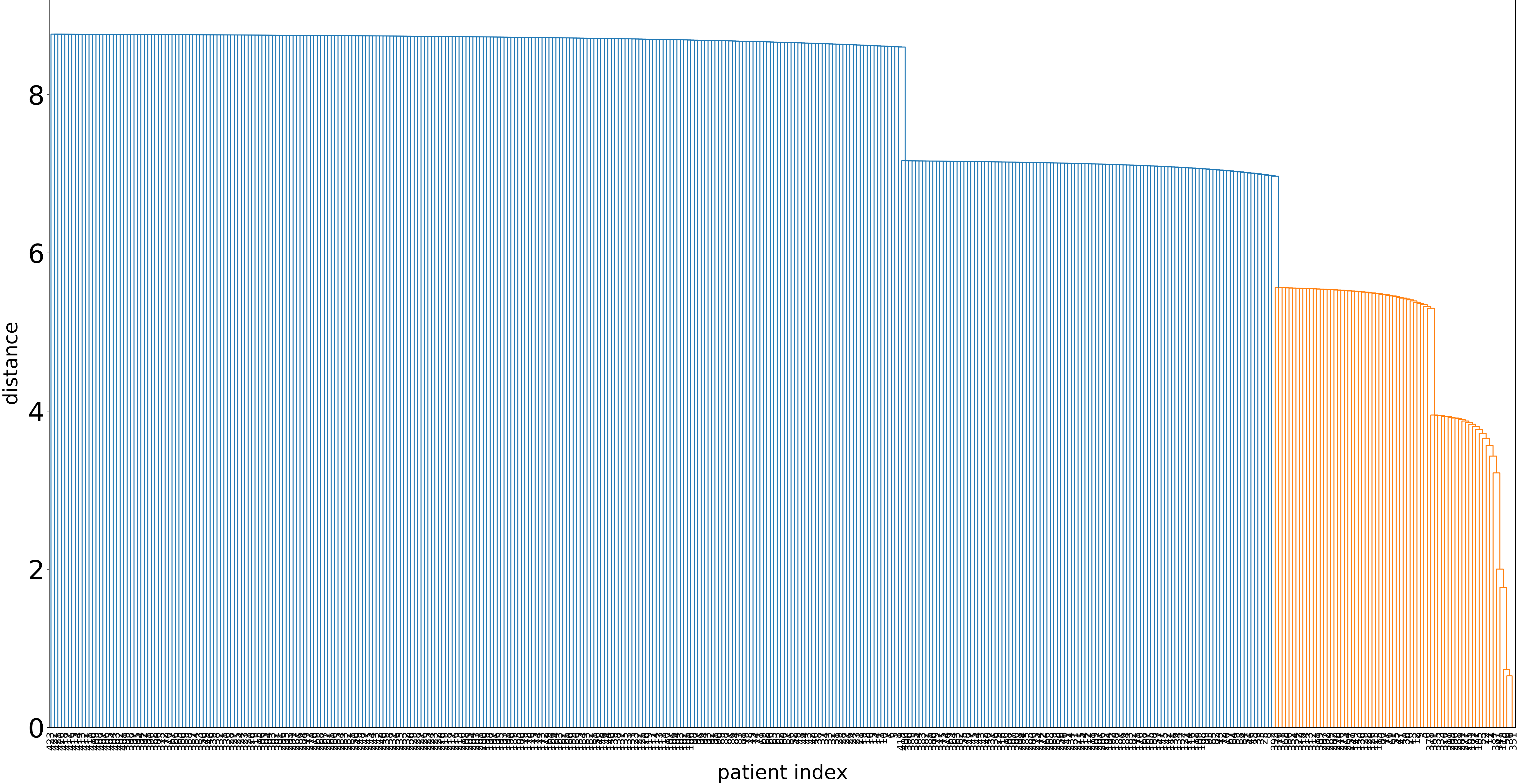
patient index

Cophenetic Correlation Coefficient: 0.6710981089235794

Average values of 15 clustering indices
gap: -0.90, Tp: 0.25, ward link

k	AR	FM	J	AW	VD	H	F	VI	K	Phi	RT	SS	CVNN	S	Dunn
2	1.0	1.0	1.0	1.0	0.166	1.0	1.0	0.265	1.0	0.0	1.0	1.0	2.0	0.533	0.455
3	1.0	1.0	1.0	1.0	0.258	1.0	1.0	0.442	1.0	0.0	1.0	1.0	2.0	0.689	0.455
4	1.0	1.0	1.0	1.0	0.308	1.0	1.0	0.566	1.0	0.0	1.0	1.0	1.999	0.767	0.455
5	1.0	1.0	1.0	1.0	0.338	1.0	1.0	0.661	1.0	0.0	1.0	1.0	1.999	0.813	0.455
6	1.0	1.0	1.0	1.0	0.364	1.0	1.0	0.743	1.0	0.0	1.0	1.0	1.999	0.844	0.455
7	1.0	1.0	1.0	1.0	0.383	1.0	1.0	0.812	1.0	0.0	1.0	1.0	1.998	0.867	0.455
8	1.0	1.0	1.0	1.0	0.396	1.0	1.0	0.871	1.0	0.0	1.0	1.0	1.998	0.883	0.455
9	1.0	1.0	1.0	1.0	0.405	1.0	1.0	0.922	1.0	0.0	1.0	1.0	1.998	0.896	0.455
10	1.0	1.0	1.0	1.0	0.416	1.0	1.0	0.971	1.0	0.0	1.0	1.0	1.997	0.907	0.455
11	1.0	1.0	1.0	1.0	0.422	1.0	1.0	1.012	1.0	0.0	1.0	1.0	1.997	0.915	0.455
12	1.0	1.0	1.0	1.0	0.428	1.0	1.0	1.05	1.0	0.0	1.0	1.0	1.997	0.922	0.455
13	1.0	1.0	1.0	1.0	0.433	1.0	1.0	1.084	1.0	0.0	1.0	1.0	1.996	0.928	0.455
14	1.0	1.0	1.0	1.0	0.438	1.0	1.0	1.118	1.0	0.0	1.0	1.0	1.996	0.933	0.455
15	1.0	1.0	1.0	1.0	0.442	1.0	1.0	1.148	1.0	0.0	1.0	1.0	1.996	0.938	0.455
16	1.0	1.0	1.0	1.0	0.445	1.0	1.0	1.176	1.0	0.0	1.0	1.0	1.995	0.942	0.455
17	1.0	1.0	1.0	1.0	0.448	1.0	1.0	1.203	1.0	0.0	1.0	1.0	1.995	0.945	0.455
18	1.0	1.0	1.0	1.0	0.451	1.0	1.0	1.229	1.0	0.0	1.0	1.0	1.995	0.948	0.455
19	1.0	1.0	1.0	1.0	0.453	1.0	1.0	1.252	1.0	0.0	1.0	1.0	1.994	0.951	0.455
20	1.0	1.0	1.0	1.0	0.456	1.0	1.0	1.275	1.0	0.0	1.0	1.0	1.994	0.953	0.455

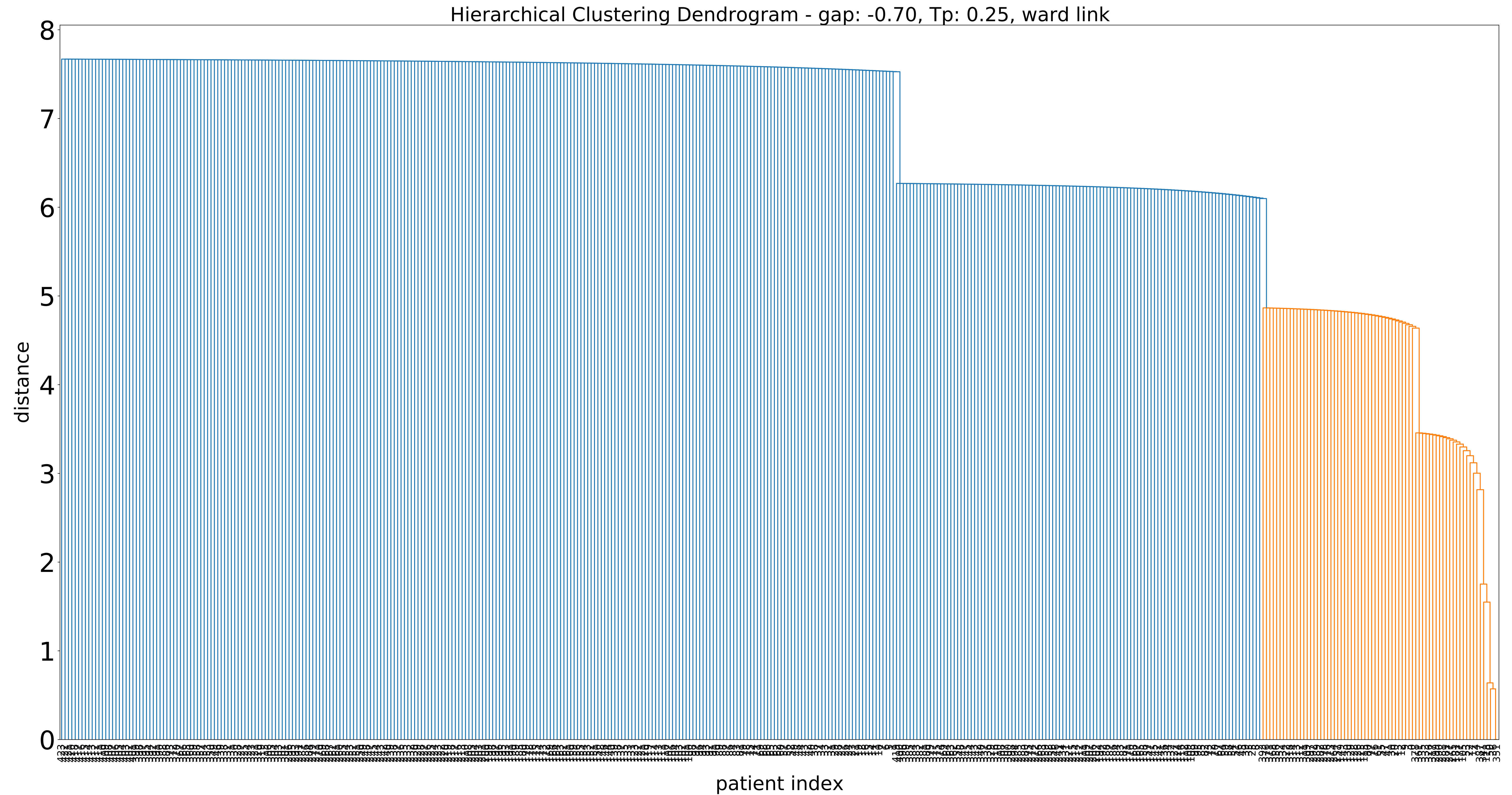
Hierarchical Clustering Dendrogram - gap: -0.80, Tp: 0.25, ward link



Cophenetic Correlation Coefficient: 0.6710981089235791

Average values of 15 clustering indices
gap: -0.80, Tp: 0.25, ward link

k	AR	FM	J	AW	VD	H	F	VI	K	Phi	RT	SS	CVNN	S	Dunn
2	1.0	1.0	1.0	1.0	0.168	1.0	1.0	0.267	1.0	0.0	1.0	1.0	2.0	0.533	0.455
3	1.0	1.0	1.0	1.0	0.258	1.0	1.0	0.442	1.0	0.0	1.0	1.0	2.0	0.689	0.455
4	1.0	1.0	1.0	1.0	0.311	1.0	1.0	0.569	1.0	0.0	1.0	1.0	1.999	0.767	0.455
5	1.0	1.0	1.0	1.0	0.341	1.0	1.0	0.662	1.0	0.0	1.0	1.0	1.999	0.813	0.455
6	1.0	1.0	1.0	1.0	0.366	1.0	1.0	0.745	1.0	0.0	1.0	1.0	1.999	0.844	0.455
7	1.0	1.0	1.0	1.0	0.381	1.0	1.0	0.812	1.0	0.0	1.0	1.0	1.998	0.867	0.455
8	1.0	1.0	1.0	1.0	0.395	1.0	1.0	0.871	1.0	0.0	1.0	1.0	1.998	0.883	0.455
9	1.0	1.0	1.0	1.0	0.408	1.0	1.0	0.925	1.0	0.0	1.0	1.0	1.998	0.896	0.455
10	1.0	1.0	1.0	1.0	0.415	1.0	1.0	0.969	1.0	0.0	1.0	1.0	1.997	0.907	0.455
11	1.0	1.0	1.0	1.0	0.423	1.0	1.0	1.012	1.0	0.0	1.0	1.0	1.997	0.915	0.455
12	1.0	1.0	1.0	1.0	0.428	1.0	1.0	1.05	1.0	0.0	1.0	1.0	1.997	0.922	0.455
13	1.0	1.0	1.0	1.0	0.433	1.0	1.0	1.086	1.0	0.0	1.0	1.0	1.996	0.928	0.455
14	1.0	1.0	1.0	1.0	0.438	1.0	1.0	1.118	1.0	0.0	1.0	1.0	1.996	0.933	0.455
15	1.0	1.0	1.0	1.0	0.441	1.0	1.0	1.148	1.0	0.0	1.0	1.0	1.996	0.938	0.455
16	1.0	1.0	1.0	1.0	0.445	1.0	1.0	1.177	1.0	0.0	1.0	1.0	1.995	0.942	0.455
17	1.0	1.0	1.0	1.0	0.448	1.0	1.0	1.204	1.0	0.0	1.0	1.0	1.995	0.945	0.455
18	1.0	1.0	1.0	1.0	0.451	1.0	1.0	1.229	1.0	0.0	1.0	1.0	1.995	0.948	0.455
19	1.0	1.0	1.0	1.0	0.453	1.0	1.0	1.253	1.0	0.0	1.0	1.0	1.994	0.951	0.455
20	1.0	1.0	1.0	1.0	0.455	1.0	1.0	1.275	1.0	0.0	1.0	1.0	1.994	0.953	0.455



Average values of 15 clustering indices
gap: -0.70, Tp: 0.25, ward link

k	AR	FM	J	AW	VD	H	F	VI	K	Phi	RT	SS	CVNN	S	Dunn
2	1.0	1.0	1.0	1.0	0.175	1.0	1.0	0.272	1.0	0.0	1.0	1.0	2.0	0.533	0.455
3	1.0	1.0	1.0	1.0	0.262	1.0	1.0	0.444	1.0	0.0	1.0	1.0	2.0	0.689	0.455
4	1.0	1.0	1.0	1.0	0.31	1.0	1.0	0.568	1.0	0.0	1.0	1.0	1.999	0.767	0.455
5	1.0	1.0	1.0	1.0	0.341	1.0	1.0	0.665	1.0	0.0	1.0	1.0	1.999	0.813	0.455
6	1.0	1.0	1.0	1.0	0.363	1.0	1.0	0.744	1.0	0.0	1.0	1.0	1.999	0.844	0.455
7	1.0	1.0	1.0	1.0	0.383	1.0	1.0	0.814	1.0	0.0	1.0	1.0	1.998	0.867	0.455
8	1.0	1.0	1.0	1.0	0.397	1.0	1.0	0.873	1.0	0.0	1.0	1.0	1.998	0.883	0.455
9	1.0	1.0	1.0	1.0	0.405	1.0	1.0	0.922	1.0	0.0	1.0	1.0	1.998	0.896	0.455
10	1.0	1.0	1.0	1.0	0.415	1.0	1.0	0.97	1.0	0.0	1.0	1.0	1.997	0.907	0.455
11	1.0	1.0	1.0	1.0	0.422	1.0	1.0	1.011	1.0	0.0	1.0	1.0	1.997	0.915	0.455
12	1.0	1.0	1.0	1.0	0.427	1.0	1.0	1.049	1.0	0.0	1.0	1.0	1.997	0.922	0.455
13	1.0	1.0	1.0	1.0	0.434	1.0	1.0	1.085	1.0	0.0	1.0	1.0	1.996	0.928	0.455
14	1.0	1.0	1.0	1.0	0.438	1.0	1.0	1.117	1.0	0.0	1.0	1.0	1.996	0.933	0.455
15	1.0	1.0	1.0	1.0	0.442	1.0	1.0	1.148	1.0	0.0	1.0	1.0	1.996	0.938	0.455
16	1.0	1.0	1.0	1.0	0.445	1.0	1.0	1.176	1.0	0.0	1.0	1.0	1.995	0.942	0.455
17	1.0	1.0	1.0	1.0	0.448	1.0	1.0	1.203	1.0	0.0	1.0	1.0	1.995	0.945	0.455
18	1.0	1.0	1.0	1.0	0.451	1.0	1.0	1.229	1.0	0.0	1.0	1.0	1.995	0.948	0.455
19	1.0	1.0	1.0	1.0	0.454	1.0	1.0	1.253	1.0	0.0	1.0	1.0	1.994	0.951	0.455
20	1.0	1.0	1.0	1.0	0.456	1.0	1.0	1.274	1.0	0.0	1.0	1.0	1.994	0.953	0.455

Hierarchical Clustering Dendrogram - gap: -0.60, Tp: 0.25, ward link

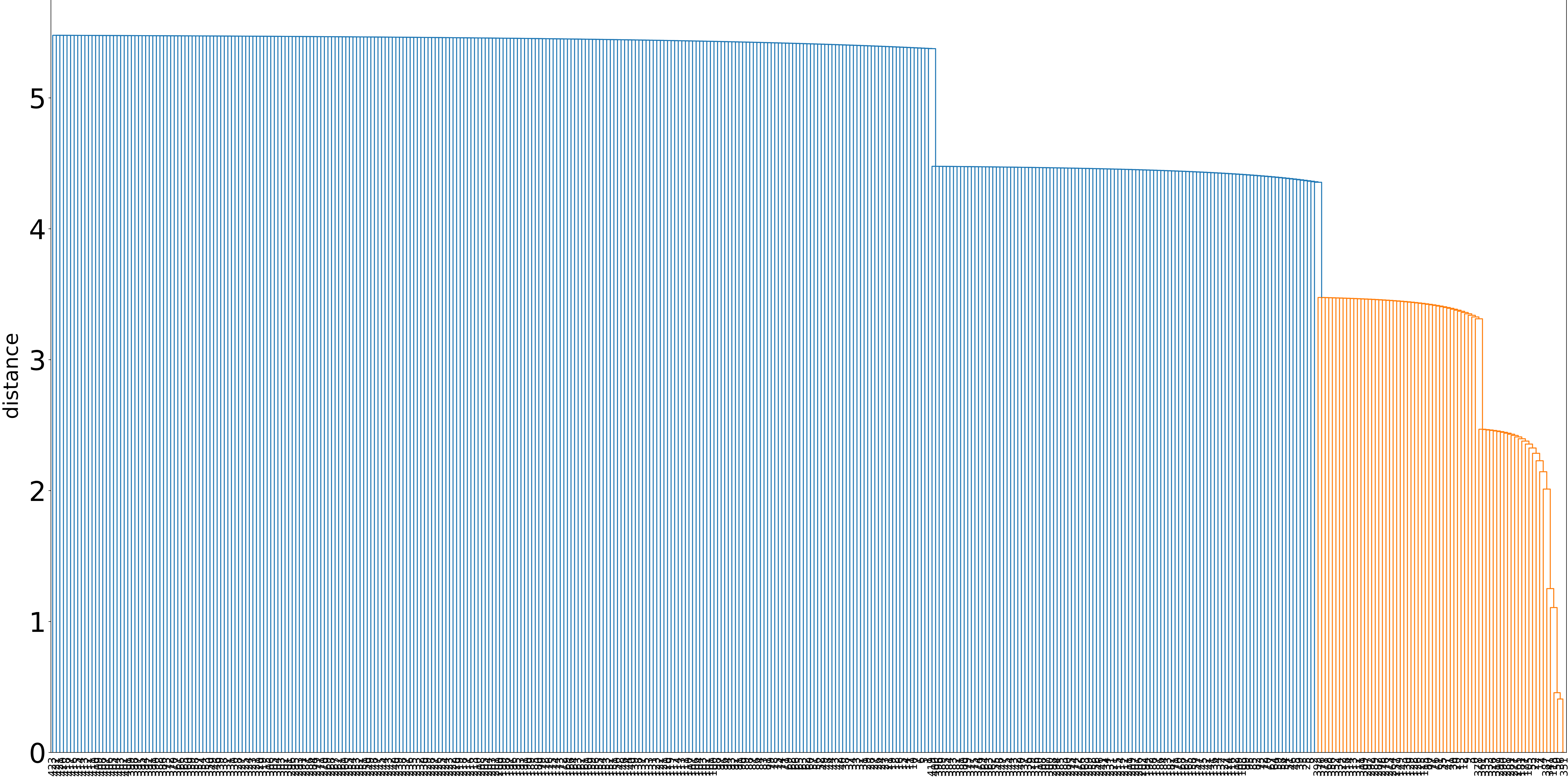


Cophenetic Correlation Coefficient: 0.6710981089235791

Average values of 15 clustering indices
gap: -0.60, Tp: 0.25, ward link

k	AR	FM	J	AW	VD	H	F	VI	K	Phi	RT	SS	CVNN	S	Dunn
2	1.0	1.0	1.0	1.0	0.172	1.0	1.0	0.27	1.0	0.0	1.0	1.0	2.0	0.533	0.455
3	1.0	1.0	1.0	1.0	0.261	1.0	1.0	0.442	1.0	0.0	1.0	1.0	2.0	0.689	0.455
4	1.0	1.0	1.0	1.0	0.307	1.0	1.0	0.566	1.0	0.0	1.0	1.0	1.999	0.767	0.455
5	1.0	1.0	1.0	1.0	0.34	1.0	1.0	0.663	1.0	0.0	1.0	1.0	1.999	0.813	0.455
6	1.0	1.0	1.0	1.0	0.365	1.0	1.0	0.745	1.0	0.0	1.0	1.0	1.999	0.844	0.455
7	1.0	1.0	1.0	1.0	0.383	1.0	1.0	0.813	1.0	0.0	1.0	1.0	1.998	0.867	0.455
8	1.0	1.0	1.0	1.0	0.395	1.0	1.0	0.871	1.0	0.0	1.0	1.0	1.998	0.883	0.455
9	1.0	1.0	1.0	1.0	0.407	1.0	1.0	0.924	1.0	0.0	1.0	1.0	1.998	0.896	0.455
10	1.0	1.0	1.0	1.0	0.416	1.0	1.0	0.971	1.0	0.0	1.0	1.0	1.997	0.907	0.455
11	1.0	1.0	1.0	1.0	0.422	1.0	1.0	1.011	1.0	0.0	1.0	1.0	1.997	0.915	0.455
12	1.0	1.0	1.0	1.0	0.427	1.0	1.0	1.049	1.0	0.0	1.0	1.0	1.997	0.922	0.455
13	1.0	1.0	1.0	1.0	0.433	1.0	1.0	1.084	1.0	0.0	1.0	1.0	1.996	0.928	0.455
14	1.0	1.0	1.0	1.0	0.438	1.0	1.0	1.118	1.0	0.0	1.0	1.0	1.996	0.933	0.455
15	1.0	1.0	1.0	1.0	0.442	1.0	1.0	1.148	1.0	0.0	1.0	1.0	1.996	0.938	0.455
16	1.0	1.0	1.0	1.0	0.445	1.0	1.0	1.176	1.0	0.0	1.0	1.0	1.995	0.942	0.455
17	1.0	1.0	1.0	1.0	0.448	1.0	1.0	1.203	1.0	0.0	1.0	1.0	1.995	0.945	0.455
18	1.0	1.0	1.0	1.0	0.45	1.0	1.0	1.229	1.0	0.0	1.0	1.0	1.995	0.948	0.455
19	1.0	1.0	1.0	1.0	0.453	1.0	1.0	1.252	1.0	0.0	1.0	1.0	1.994	0.951	0.455
20	1.0	1.0	1.0	1.0	0.455	1.0	1.0	1.275	1.0	0.0	1.0	1.0	1.994	0.953	0.455

Hierarchical Clustering Dendrogram - gap: -0.50, Tp: 0.25, ward link

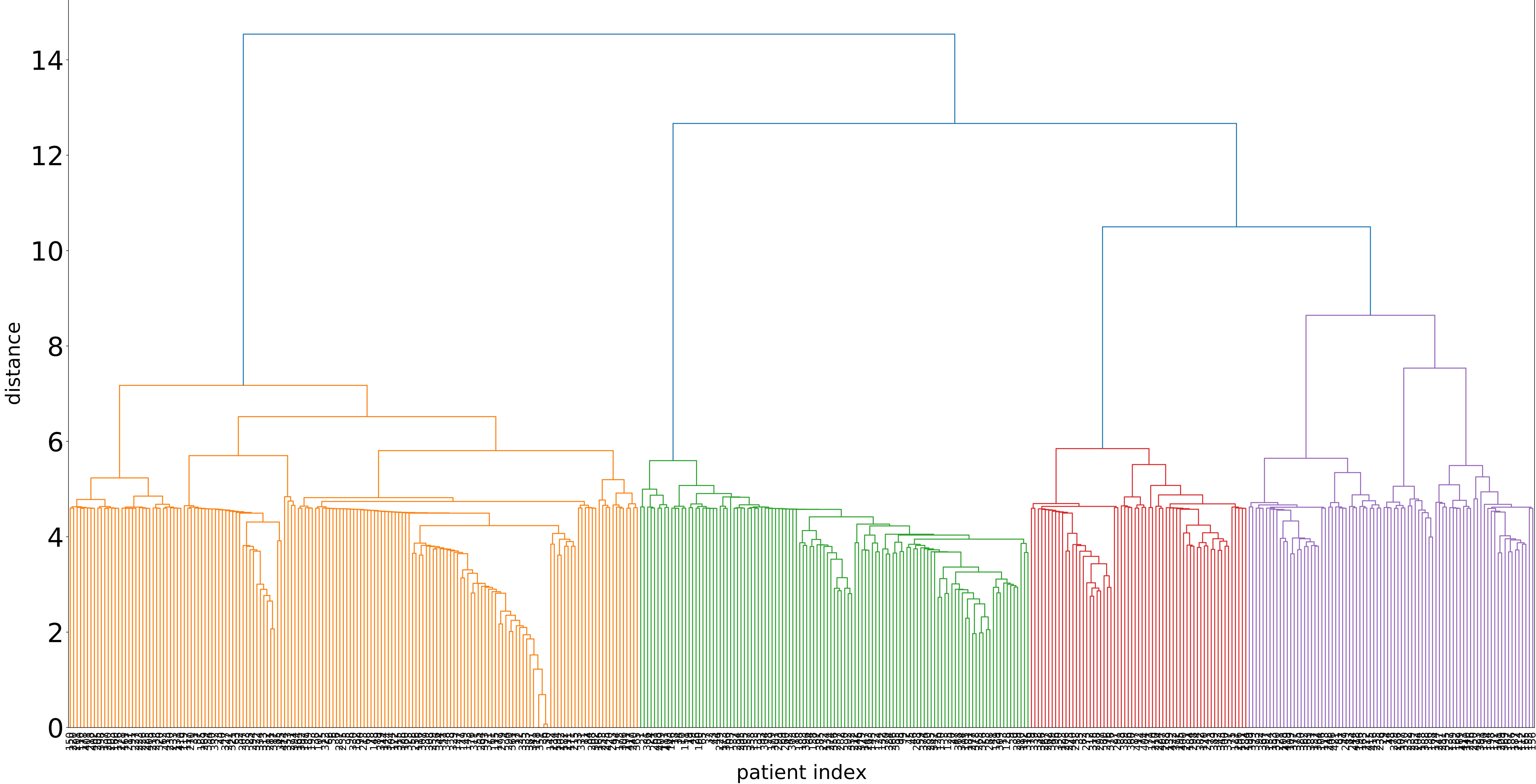


patient index

Average values of 15 clustering indices
gap: -0.50, Tp: 0.25, ward link

k	AR	FM	J	AW	VD	H	F	VI	K	Phi	RT	SS	CVNN	S	Dunn
2	1.0	1.0	1.0	1.0	0.175	1.0	1.0	0.272	1.0	0.0	1.0	1.0	2.0	0.533	0.455
3	1.0	1.0	1.0	1.0	0.259	1.0	1.0	0.443	1.0	0.0	1.0	1.0	2.0	0.689	0.455
4	1.0	1.0	1.0	1.0	0.31	1.0	1.0	0.568	1.0	0.0	1.0	1.0	1.999	0.767	0.455
5	1.0	1.0	1.0	1.0	0.342	1.0	1.0	0.665	1.0	0.0	1.0	1.0	1.999	0.813	0.455
6	1.0	1.0	1.0	1.0	0.366	1.0	1.0	0.745	1.0	0.0	1.0	1.0	1.999	0.844	0.455
7	1.0	1.0	1.0	1.0	0.383	1.0	1.0	0.813	1.0	0.0	1.0	1.0	1.998	0.867	0.455
8	1.0	1.0	1.0	1.0	0.396	1.0	1.0	0.871	1.0	0.0	1.0	1.0	1.998	0.883	0.455
9	1.0	1.0	1.0	1.0	0.406	1.0	1.0	0.923	1.0	0.0	1.0	1.0	1.998	0.896	0.455
10	1.0	1.0	1.0	1.0	0.413	1.0	1.0	0.968	1.0	0.0	1.0	1.0	1.997	0.907	0.455
11	1.0	1.0	1.0	1.0	0.422	1.0	1.0	1.012	1.0	0.0	1.0	1.0	1.997	0.915	0.455
12	1.0	1.0	1.0	1.0	0.428	1.0	1.0	1.051	1.0	0.0	1.0	1.0	1.997	0.922	0.455
13	1.0	1.0	1.0	1.0	0.433	1.0	1.0	1.086	1.0	0.0	1.0	1.0	1.996	0.928	0.455
14	1.0	1.0	1.0	1.0	0.438	1.0	1.0	1.119	1.0	0.0	1.0	1.0	1.996	0.933	0.455
15	1.0	1.0	1.0	1.0	0.442	1.0	1.0	1.148	1.0	0.0	1.0	1.0	1.996	0.938	0.455
16	1.0	1.0	1.0	1.0	0.445	1.0	1.0	1.177	1.0	0.0	1.0	1.0	1.995	0.942	0.455
17	1.0	1.0	1.0	1.0	0.447	1.0	1.0	1.203	1.0	0.0	1.0	1.0	1.995	0.945	0.455
18	1.0	1.0	1.0	1.0	0.451	1.0	1.0	1.229	1.0	0.0	1.0	1.0	1.995	0.948	0.455
19	1.0	1.0	1.0	1.0	0.453	1.0	1.0	1.253	1.0	0.0	1.0	1.0	1.994	0.951	0.455
20	1.0	1.0	1.0	1.0	0.456	1.0	1.0	1.276	1.0	0.0	1.0	1.0	1.994	0.953	0.455

Hierarchical Clustering Dendrogram - gap: -0.40, Tp: 0.25, ward link

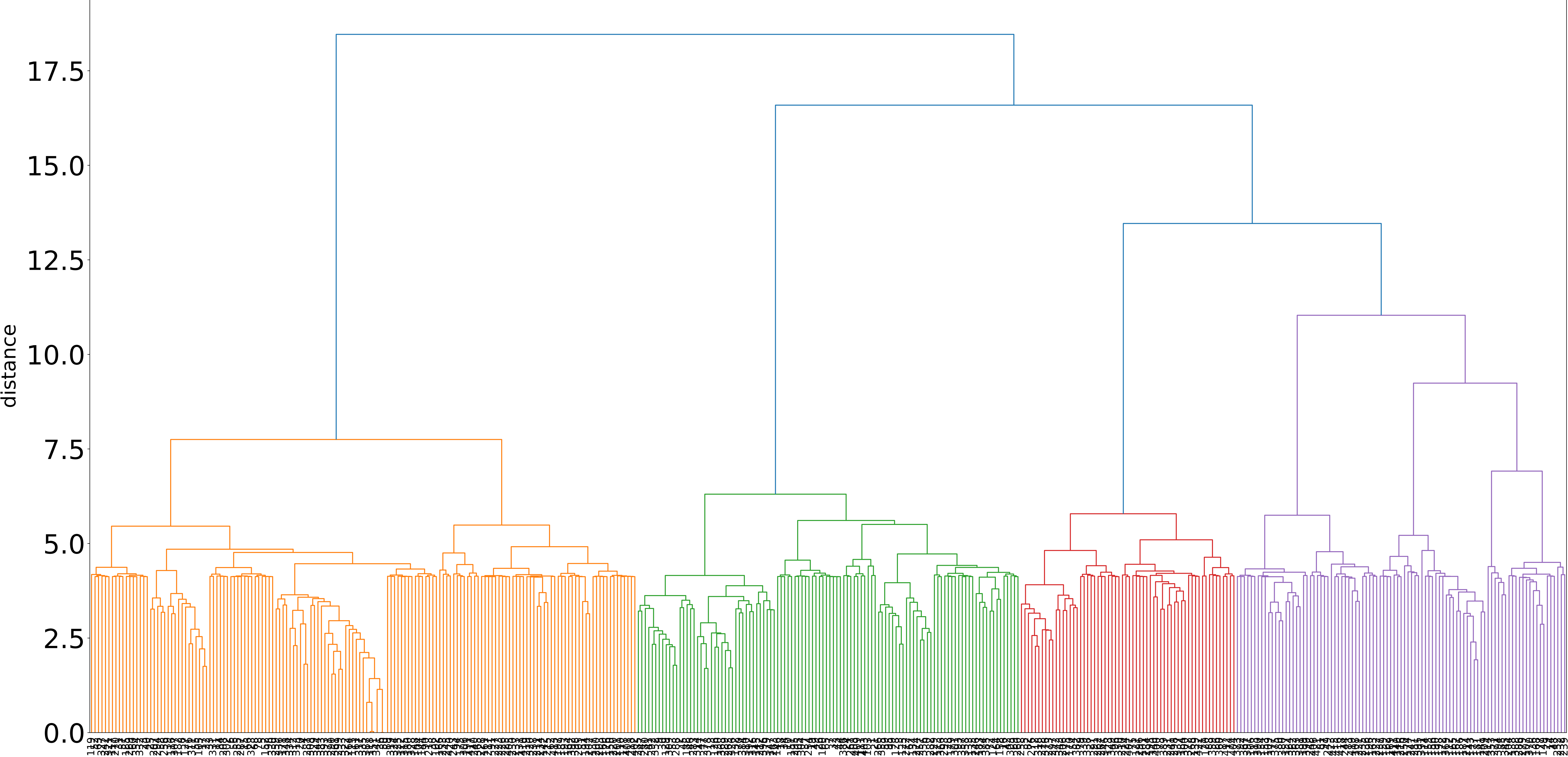


Cophenetic Correlation Coefficient: 0.1850183151298107

Average values of 15 clustering indices
gap: -0.40, Tp: 0.25, ward link

k	AR	FM	J	AW	VD	H	F	VI	K	Phi	RT	SS	CVNN	S	Dunn
2	1.0	0.55	0.378	0.035	0.372	0.03	0.547	0.559	0.552	0.0	0.347	0.233	1.654	0.025	0.213
3	1.0	0.287	0.164	-0.226	0.553	-0.309	0.282	0.906	0.291	-0.0	0.205	0.09	1.984	0.018	0.213
4	1.0	0.203	0.105	-0.202	0.604	-0.382	0.19	1.109	0.216	-0.0	0.171	0.055	1.973	0.014	0.213
5	1.0	0.171	0.082	-0.167	0.627	-0.385	0.152	1.221	0.192	-0.0	0.162	0.043	1.964	0.01	0.213
6	1.0	0.149	0.066	-0.134	0.652	-0.369	0.125	1.285	0.177	-0.0	0.159	0.034	1.961	0.008	0.213
7	1.0	0.109	0.045	-0.131	0.694	-0.438	0.086	1.366	0.139	-0.0	0.126	0.023	1.947	-0.0	0.213
8	1.0	0.081	0.031	-0.124	0.727	-0.497	0.06	1.404	0.109	-0.0	0.101	0.016	1.944	-0.009	0.197
9	1.0	0.07	0.025	-0.109	0.734	-0.497	0.049	1.369	0.101	-0.0	0.094	0.013	1.94	-0.007	0.197
10	1.0	0.061	0.021	-0.1	0.745	-0.506	0.041	1.296	0.091	-0.0	0.087	0.011	1.935	-0.023	0.197
11	1.0	0.057	0.019	-0.089	0.75	-0.489	0.037	1.147	0.09	-0.0	0.086	0.009	1.934	-0.026	0.197
12	1.0	0.054	0.017	-0.082	0.753	-0.48	0.033	0.966	0.088	-0.0	0.085	0.009	1.93	-0.025	0.197
13	1.0	0.049	0.015	-0.075	0.759	-0.48	0.029	0.75	0.083	-0.0	0.081	0.007	1.923	-0.028	0.197
14	1.0	0.046	0.013	-0.069	0.762	-0.471	0.026	0.498	0.081	-0.0	0.08	0.007	1.921	-0.028	0.197
15	1.0	0.044	0.012	-0.064	0.762	-0.463	0.024	0.165	0.08	-0.0	0.078	0.006	1.918	-0.028	0.197
16	1.0	0.042	0.011	-0.06	0.764	-0.453	0.022	-0.14	0.078	-0.0	0.078	0.006	1.917	-0.027	0.197
17	1.0	0.041	0.011	-0.056	0.763	-0.443	0.021	-0.553	0.078	-0.0	0.078	0.005	1.917	-0.028	0.202
18	1.0	0.038	0.01	-0.053	0.764	-0.438	0.019	-0.986	0.076	-0.0	0.076	0.005	1.913	-0.03	0.202
19	1.0	0.037	0.009	-0.05	0.764	-0.429	0.018	-1.502	0.076	-0.0	0.076	0.005	1.912	-0.032	0.202
20	1.0	0.036	0.009	-0.047	0.765	-0.421	0.017	-2.038	0.075	-0.0	0.076	0.004	1.912	-0.031	0.202

Hierarchical Clustering Dendrogram - gap: -0.30, Tp: 0.25, ward link



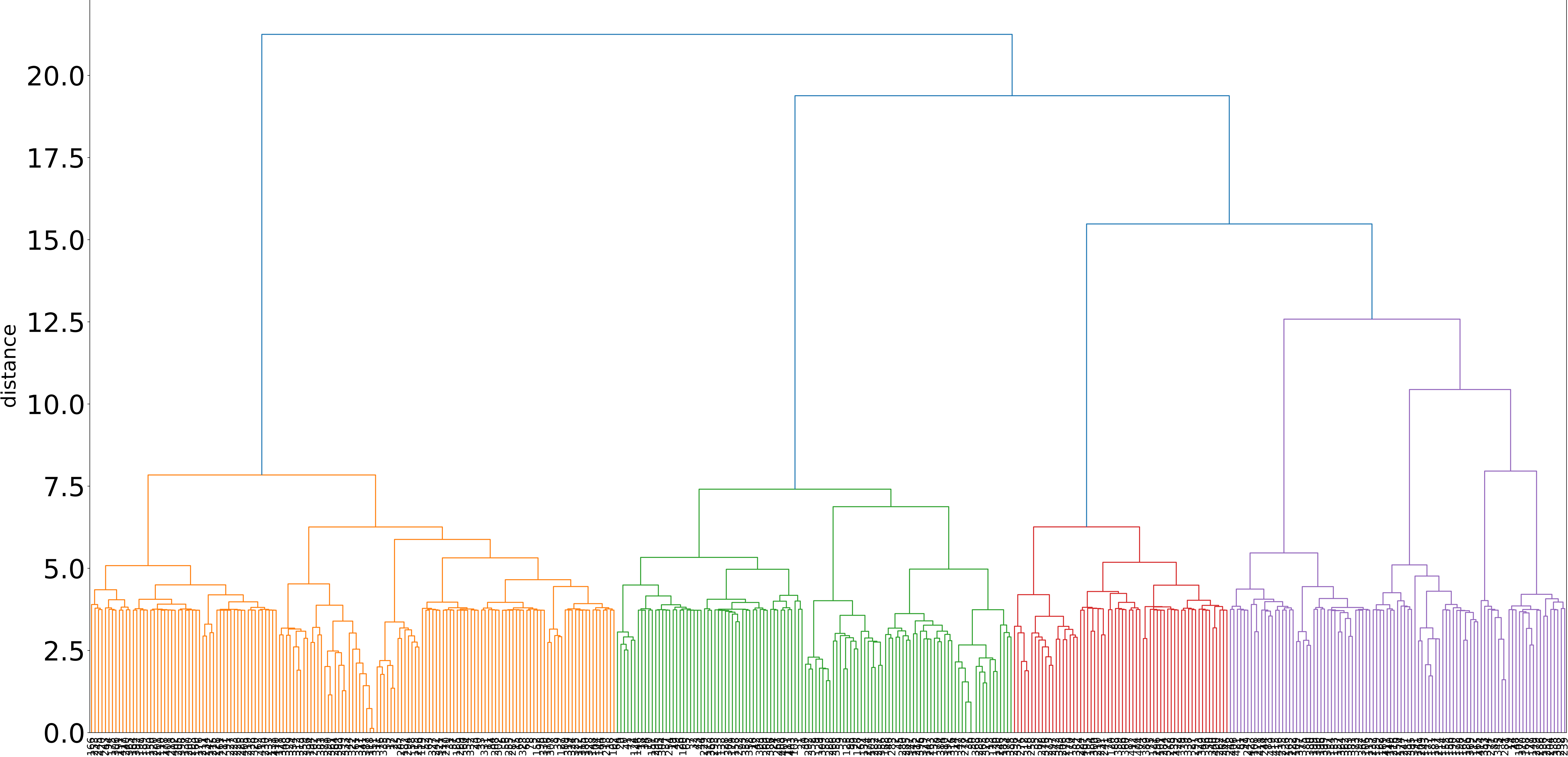
patient index

Cophenetic Correlation Coefficient: 0.3000630008429775

Average values of 15 clustering indices
gap: -0.30, Tp: 0.25, ward link

k	AR	FM	J	AW	VD	H	F	VI	K	Phi	RT	SS	CVNN	S	Dunn
2	1.0	0.555	0.383	0.049	0.365	0.043	0.553	0.556	0.558	0.0	0.353	0.237	1.544	0.048	0.194
3	1.0	0.288	0.166	-0.235	0.555	-0.313	0.284	0.903	0.293	-0.0	0.204	0.09	1.804	0.051	0.194
4	1.0	0.198	0.103	-0.214	0.607	-0.4	0.186	1.112	0.211	-0.0	0.165	0.054	1.83	0.055	0.194
5	1.0	0.161	0.077	-0.173	0.638	-0.407	0.143	1.237	0.182	-0.0	0.153	0.04	1.906	0.056	0.194
6	1.0	0.14	0.062	-0.143	0.656	-0.399	0.118	1.303	0.167	-0.0	0.148	0.032	1.902	0.058	0.194
7	1.0	0.091	0.037	-0.143	0.719	-0.504	0.071	1.413	0.116	-0.0	0.105	0.019	1.923	0.033	0.194
8	1.0	0.083	0.032	-0.121	0.729	-0.484	0.062	1.385	0.113	-0.0	0.104	0.016	1.923	0.037	0.194
9	1.0	0.063	0.022	-0.114	0.752	-0.533	0.044	1.387	0.09	-0.0	0.084	0.011	1.931	0.001	0.194
10	1.0	0.055	0.019	-0.103	0.758	-0.536	0.037	1.301	0.083	-0.0	0.078	0.009	1.928	-0.0	0.194
11	1.0	0.052	0.017	-0.093	0.761	-0.525	0.033	1.161	0.081	-0.0	0.077	0.008	1.925	0.001	0.194
12	1.0	0.044	0.014	-0.085	0.769	-0.537	0.027	1.005	0.072	-0.0	0.069	0.007	1.917	-0.008	0.194
13	1.0	0.041	0.012	-0.079	0.77	-0.532	0.024	0.765	0.07	-0.0	0.067	0.006	1.914	-0.015	0.194
14	1.0	0.038	0.011	-0.073	0.773	-0.531	0.021	0.489	0.066	-0.0	0.064	0.005	1.906	-0.017	0.194
15	1.0	0.03	0.008	-0.069	0.793	-0.568	0.016	0.198	0.055	-0.0	0.053	0.004	1.898	-0.021	0.194
16	1.0	0.028	0.007	-0.064	0.793	-0.562	0.015	-0.203	0.053	-0.0	0.052	0.004	1.895	-0.021	0.201
17	1.0	0.026	0.007	-0.061	0.795	-0.557	0.013	-0.621	0.052	-0.0	0.05	0.003	1.891	-0.021	0.201
18	1.0	0.024	0.006	-0.057	0.795	-0.56	0.012	-1.175	0.049	-0.0	0.048	0.003	1.883	-0.023	0.201
19	1.0	0.019	0.005	-0.055	0.81	-0.598	0.009	-1.706	0.04	-0.0	0.039	0.002	1.892	-0.026	0.201
20	1.0	0.019	0.004	-0.052	0.81	-0.588	0.009	-2.353	0.04	-0.0	0.039	0.002	1.891	0.025	0.212

Hierarchical Clustering Dendrogram - gap: -0.20, Tp: 0.25, ward link



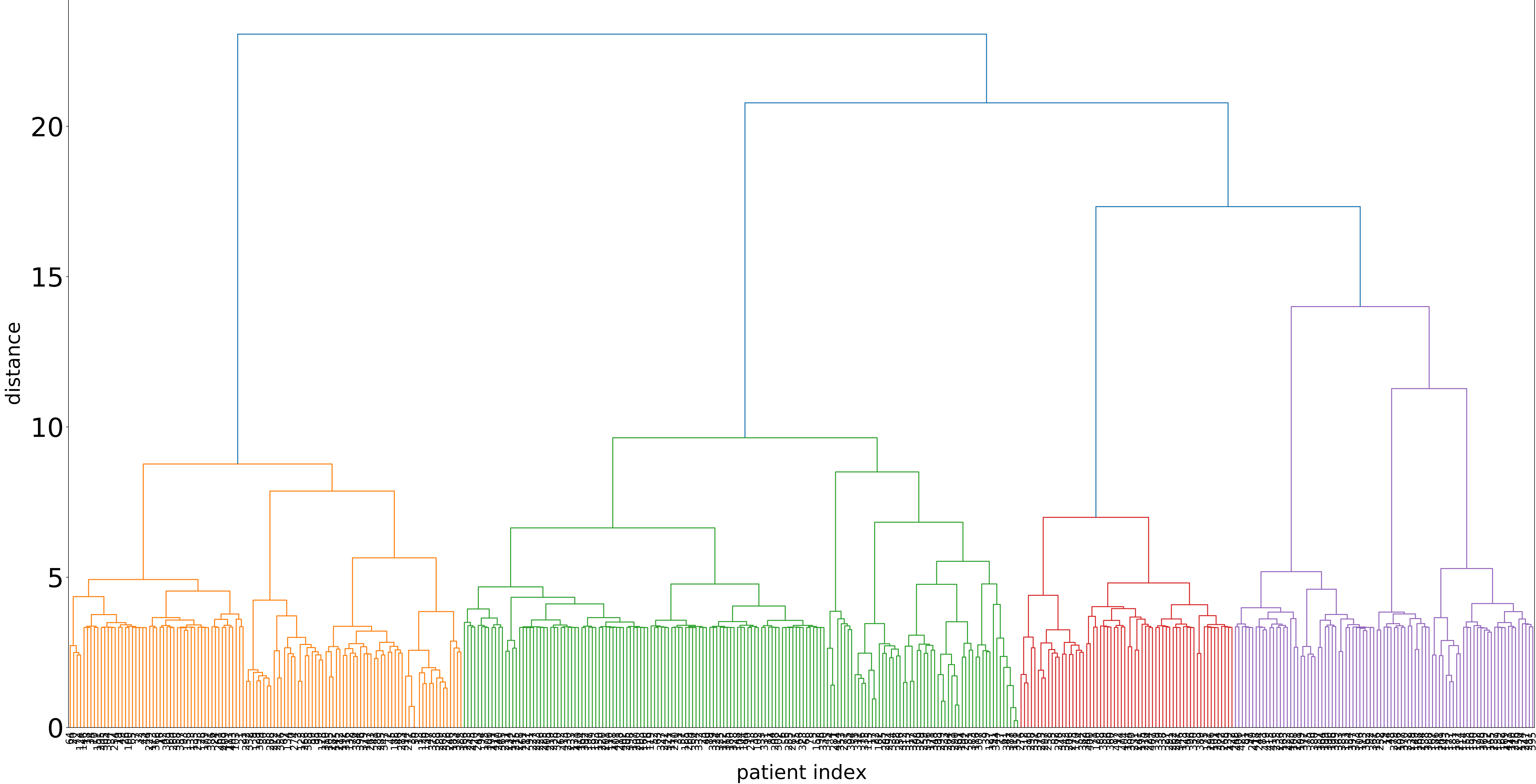
patient index

Cophenetic Correlation Coefficient: 0.424767302304496

Average values of 15 clustering indices
gap: -0.20, Tp: 0.25, ward link

k	AR	FM	J	AW	VD	H	F	VI	K	Phi	RT	SS	CVNN	S	Dunn
2	1.0	0.559	0.386	0.066	0.363	0.058	0.557	0.558	0.56	0.0	0.36	0.24	1.282	0.071	0.091
3	1.0	0.287	0.165	-0.239	0.559	-0.318	0.282	0.902	0.291	-0.0	0.202	0.09	1.611	0.081	0.091
4	1.0	0.193	0.1	-0.214	0.618	-0.407	0.181	1.119	0.207	-0.0	0.162	0.052	1.644	0.086	0.091
5	1.0	0.158	0.075	-0.175	0.645	-0.416	0.139	1.239	0.178	-0.0	0.15	0.039	1.797	0.089	0.091
6	1.0	0.136	0.06	-0.144	0.664	-0.408	0.114	1.311	0.163	-0.0	0.144	0.031	1.791	0.093	0.091
7	1.0	0.124	0.052	-0.122	0.679	-0.39	0.098	1.321	0.156	-0.0	0.143	0.026	1.799	0.104	0.091
8	1.0	0.084	0.032	-0.123	0.726	-0.486	0.062	1.377	0.113	-0.0	0.104	0.016	1.886	0.082	0.091
9	1.0	0.06	0.021	-0.114	0.758	-0.544	0.041	1.397	0.087	-0.0	0.081	0.011	1.887	0.049	0.091
10	1.0	0.052	0.018	-0.103	0.763	-0.549	0.035	1.308	0.079	-0.0	0.075	0.009	1.897	0.029	0.091
11	1.0	0.046	0.015	-0.094	0.768	-0.553	0.029	1.182	0.073	-0.0	0.069	0.007	1.896	0.027	0.091
12	1.0	0.035	0.011	-0.088	0.794	-0.597	0.021	1.032	0.058	-0.0	0.055	0.005	1.909	0.012	0.091
13	1.0	0.03	0.009	-0.083	0.803	-0.612	0.017	0.806	0.052	-0.0	0.049	0.004	1.921	0.012	0.091
14	1.0	0.028	0.008	-0.076	0.805	-0.605	0.016	0.524	0.05	-0.0	0.048	0.004	1.918	0.013	0.091
15	1.0	0.024	0.007	-0.071	0.81	-0.619	0.013	0.176	0.045	-0.0	0.043	0.003	1.914	0.007	0.091
16	1.0	0.02	0.005	-0.067	0.819	-0.638	0.011	-0.232	0.039	-0.0	0.038	0.003	1.906	0.001	0.091
17	1.0	0.018	0.005	-0.063	0.82	-0.643	0.009	-0.705	0.037	-0.0	0.035	0.002	1.899	-0.002	0.091
18	1.0	0.017	0.004	-0.059	0.821	-0.64	0.008	-1.245	0.035	-0.0	0.034	0.002	1.896	-0.002	0.094
19	1.0	0.015	0.004	-0.056	0.824	-0.649	0.007	-1.797	0.032	-0.0	0.031	0.002	1.886	-0.007	0.094
20	1.0	0.014	0.003	-0.053	0.825	-0.652	0.006	-2.437	0.03	-0.0	0.029	0.002	1.896	-0.016	0.094

Hierarchical Clustering Dendrogram - gap: -0.10, Tp: 0.25, ward link

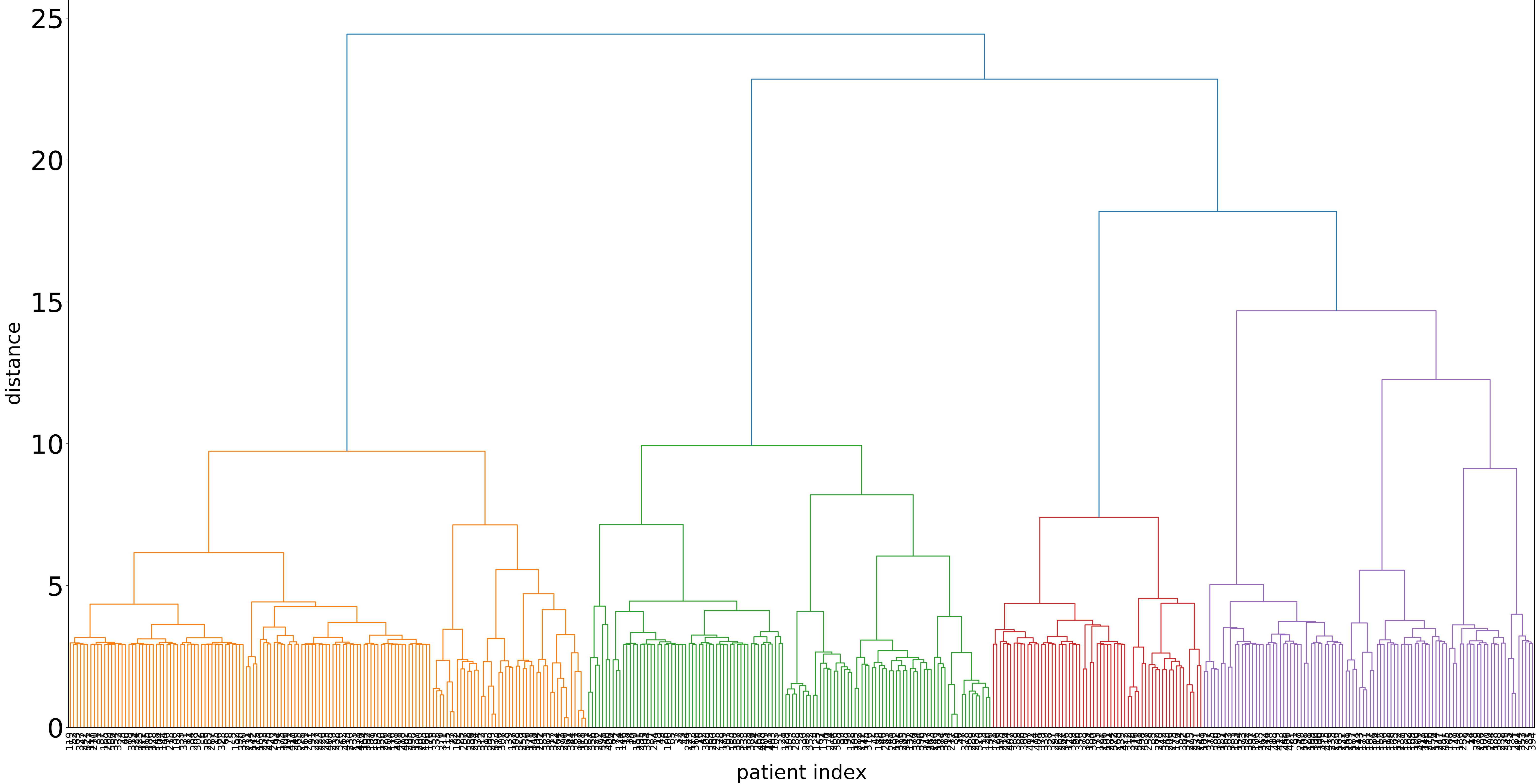


Cophenetic Correlation Coefficient: 0.5227147858640451

Average values of 15 clustering indices
gap: -0.10, Tp: 0.25, ward link

k	AR	FM	J	AW	VD	H	F	VI	K	Phi	RT	SS	CVNN	S	Dunn
2	1.0	0.625	0.453	0.209	0.312	0.186	0.623	0.526	0.626	0.0	0.424	0.293	1.048	0.115	0.118
3	1.0	0.286	0.164	-0.233	0.557	-0.315	0.282	0.905	0.291	-0.0	0.204	0.09	1.329	0.106	0.118
4	1.0	0.2	0.104	-0.211	0.604	-0.394	0.188	1.11	0.214	-0.0	0.167	0.055	1.345	0.117	0.118
5	1.0	0.163	0.078	-0.167	0.638	-0.396	0.144	1.234	0.185	-0.0	0.157	0.041	1.369	0.127	0.118
6	1.0	0.144	0.064	-0.138	0.656	-0.384	0.121	1.295	0.172	-0.0	0.153	0.033	1.642	0.141	0.118
7	1.0	0.094	0.038	-0.141	0.714	-0.493	0.073	1.399	0.12	-0.0	0.108	0.019	1.843	0.096	0.119
8	1.0	0.068	0.025	-0.131	0.745	-0.551	0.05	1.447	0.093	-0.0	0.085	0.013	1.843	0.082	0.119
9	1.0	0.061	0.022	-0.114	0.753	-0.538	0.043	1.389	0.089	-0.0	0.082	0.011	1.84	0.083	0.122
10	1.0	0.053	0.018	-0.103	0.76	-0.545	0.035	1.306	0.08	-0.0	0.076	0.009	1.849	0.07	0.122
11	1.0	0.047	0.015	-0.093	0.766	-0.547	0.03	1.173	0.074	-0.0	0.071	0.008	1.848	0.069	0.122
12	1.0	0.043	0.013	-0.086	0.767	-0.547	0.026	0.986	0.07	-0.0	0.067	0.007	1.853	0.072	0.123
13	1.0	0.029	0.008	-0.082	0.808	-0.619	0.017	0.809	0.05	-0.0	0.048	0.004	1.864	0.064	0.123
14	1.0	0.027	0.007	-0.076	0.808	-0.616	0.015	0.518	0.048	-0.0	0.046	0.004	1.872	0.054	0.123
15	1.0	0.025	0.007	-0.071	0.809	-0.612	0.013	0.15	0.046	-0.0	0.044	0.003	1.876	0.051	0.125
16	1.0	0.023	0.006	-0.066	0.81	-0.607	0.012	-0.216	0.044	-0.0	0.043	0.003	1.876	0.05	0.125
17	1.0	0.022	0.005	-0.062	0.811	-0.603	0.011	-0.649	0.043	-0.0	0.042	0.003	1.873	0.049	0.125
18	1.0	0.019	0.005	-0.058	0.816	-0.618	0.009	-1.204	0.038	-0.0	0.037	0.002	1.866	0.044	0.125
19	1.0	0.017	0.004	-0.055	0.817	-0.624	0.008	-1.799	0.036	-0.0	0.035	0.002	1.861	0.04	0.125
20	1.0	0.016	0.004	-0.052	0.818	-0.617	0.008	-2.306	0.035	-0.0	0.034	0.002	1.861	0.044	0.144

Hierarchical Clustering Dendrogram - gap: 0.00, Tp: 0.25, ward link

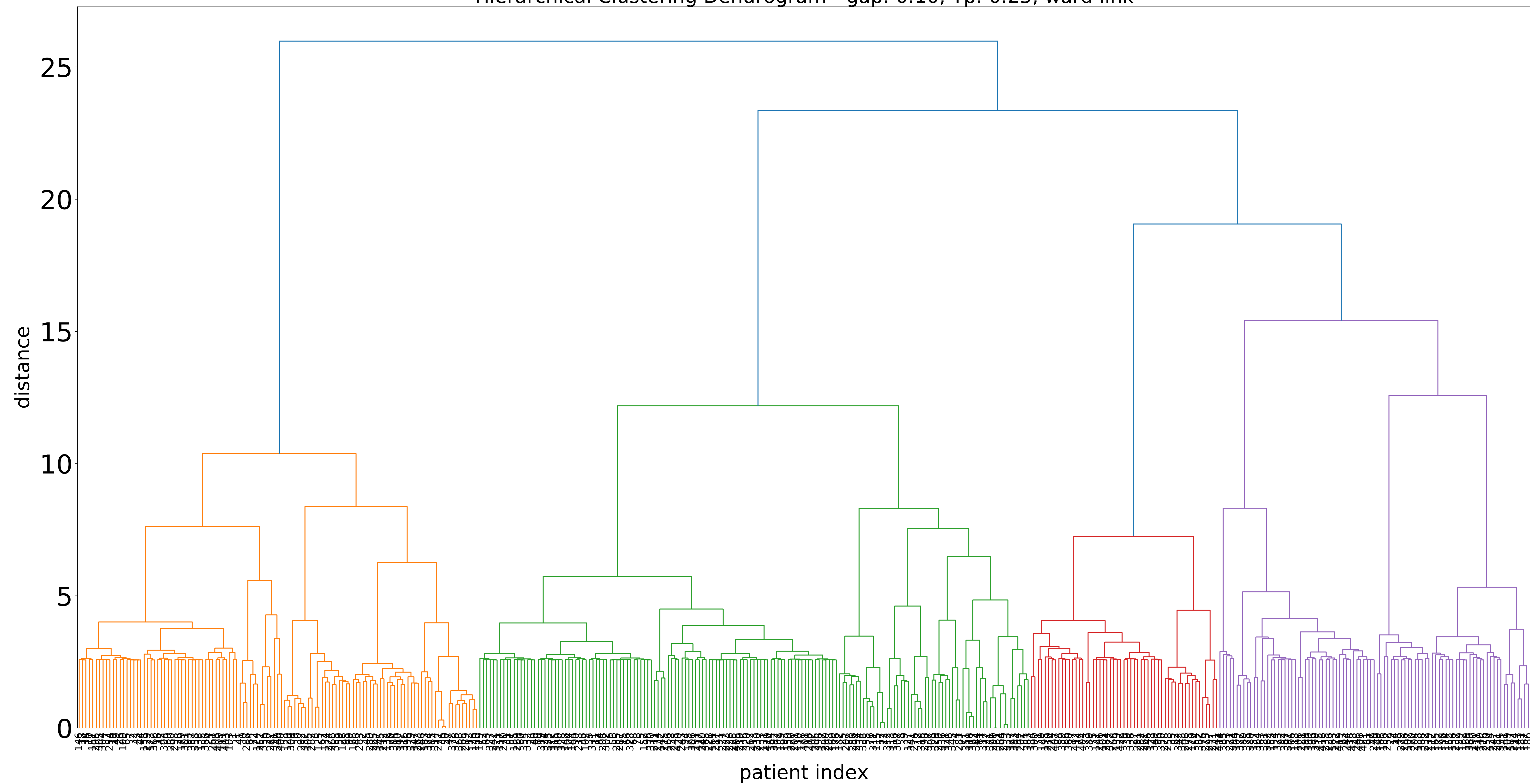


Cophenetic Correlation Coefficient: 0.6074444948287754

Average values of 15 clustering indices
gap: 0.00, Tp: 0.25, ward link

k	AR	FM	J	AW	VD	H	F	VI	K	Phi	RT	SS	CVNN	S	Dunn
2	1.0	0.562	0.39	0.07	0.357	0.061	0.56	0.555	0.564	0.0	0.361	0.242	1.018	0.116	0.147
3	1.0	0.282	0.161	-0.233	0.566	-0.319	0.277	0.909	0.287	-0.0	0.202	0.088	0.998	0.135	0.123
4	1.0	0.192	0.099	-0.213	0.619	-0.407	0.18	1.118	0.206	-0.0	0.162	0.052	0.979	0.149	0.123
5	1.0	0.157	0.074	-0.175	0.646	-0.417	0.139	1.239	0.177	-0.0	0.15	0.039	0.973	0.156	0.123
6	1.0	0.135	0.06	-0.143	0.668	-0.408	0.113	1.312	0.163	-0.0	0.144	0.031	1.064	0.163	0.123
7	1.0	0.102	0.042	-0.134	0.684	-0.46	0.08	1.384	0.131	-0.0	0.118	0.021	1.398	0.127	0.123
8	1.0	0.066	0.025	-0.13	0.746	-0.557	0.048	1.445	0.091	-0.0	0.083	0.013	1.388	0.109	0.123
9	1.0	0.061	0.022	-0.114	0.754	-0.539	0.042	1.398	0.088	-0.0	0.082	0.011	1.385	0.127	0.123
10	1.0	0.053	0.018	-0.102	0.76	-0.542	0.035	1.299	0.081	-0.0	0.076	0.009	1.391	0.113	0.123
11	1.0	0.047	0.015	-0.094	0.765	-0.548	0.03	1.179	0.074	-0.0	0.071	0.008	1.389	0.108	0.123
12	1.0	0.043	0.013	-0.085	0.769	-0.539	0.026	0.998	0.072	-0.0	0.069	0.007	1.461	0.101	0.151
13	1.0	0.039	0.012	-0.078	0.772	-0.538	0.023	0.767	0.068	-0.0	0.065	0.006	1.463	0.107	0.151
14	1.0	0.027	0.008	-0.076	0.81	-0.613	0.015	0.529	0.048	-0.0	0.046	0.004	1.445	0.1	0.151
15	1.0	0.025	0.007	-0.071	0.81	-0.611	0.013	0.177	0.046	-0.0	0.044	0.003	1.479	0.094	0.151
16	1.0	0.023	0.006	-0.065	0.812	-0.606	0.012	-0.19	0.044	-0.0	0.043	0.003	1.482	0.092	0.151
17	1.0	0.022	0.005	-0.062	0.812	-0.602	0.011	-0.638	0.043	-0.0	0.042	0.003	1.481	0.09	0.151
18	1.0	0.021	0.005	-0.058	0.811	-0.593	0.01	-1.138	0.043	-0.0	0.041	0.003	1.479	0.095	0.151
19	1.0	0.02	0.005	-0.054	0.811	-0.586	0.009	-1.63	0.042	-0.0	0.041	0.002	1.828	0.095	0.151
20	1.0	0.019	0.004	-0.051	0.812	-0.579	0.009	-2.201	0.041	-0.0	0.04	0.002	1.83	0.098	0.151

Hierarchical Clustering Dendrogram - gap: 0.10, Tp: 0.25, ward link

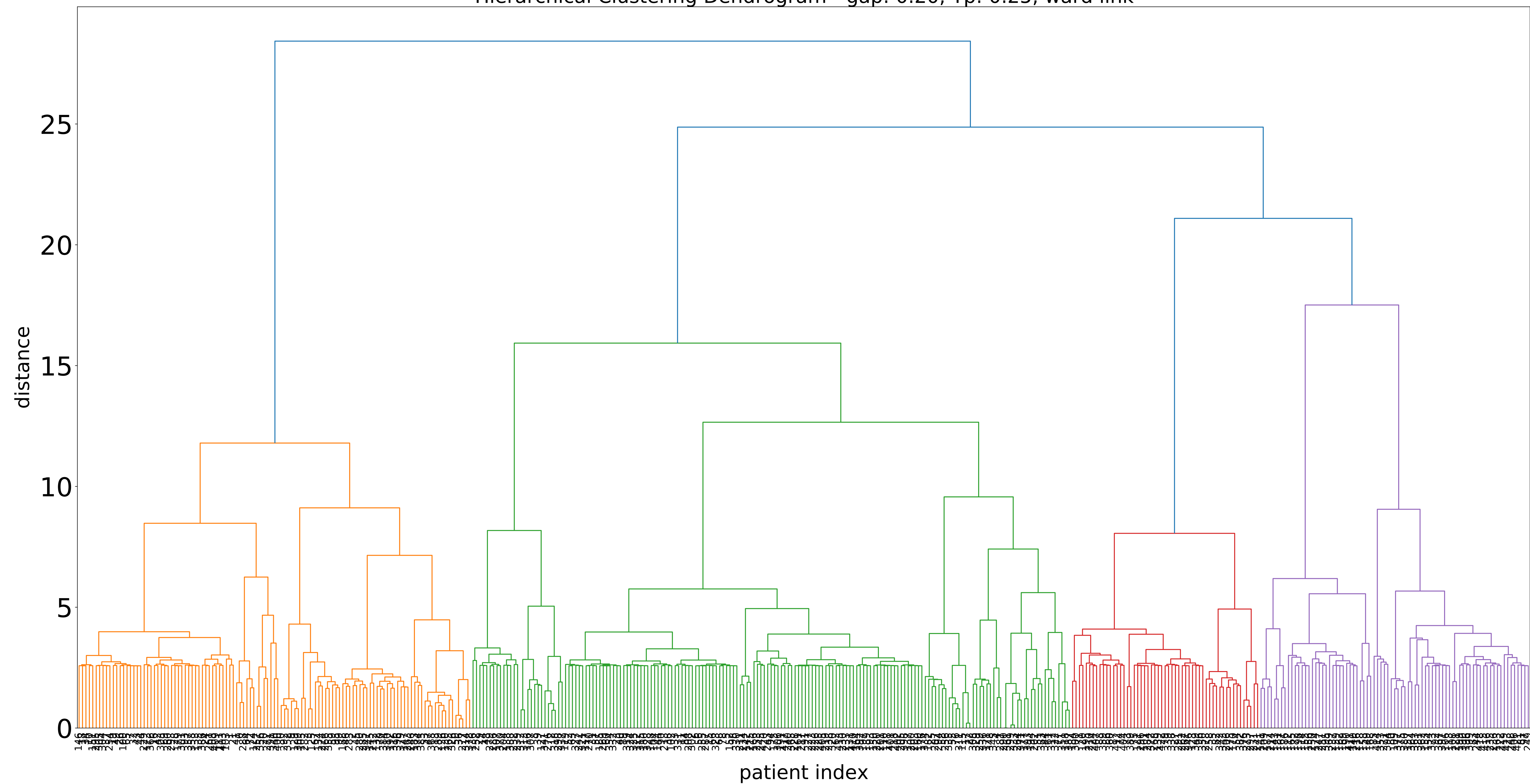


Cophenetic Correlation Coefficient: 0.6443940571372577

Average values of 15 clustering indices
gap: 0.10, Tp: 0.25, ward link

k	AR	FM	J	AW	VD	H	F	VI	K	Phi	RT	SS	CVNN	S	Dunn
2	1.0	0.62	0.448	0.204	0.317	0.182	0.619	0.529	0.621	0.0	0.421	0.289	1.046	0.165	0.101
3	1.0	0.285	0.163	-0.228	0.556	-0.312	0.281	0.907	0.29	-0.0	0.204	0.089	1.057	0.156	0.106
4	1.0	0.203	0.105	-0.203	0.604	-0.382	0.191	1.107	0.217	-0.0	0.171	0.056	1.057	0.175	0.106
5	1.0	0.166	0.079	-0.164	0.634	-0.388	0.147	1.231	0.188	-0.0	0.159	0.041	1.073	0.185	0.106
6	1.0	0.146	0.065	-0.135	0.654	-0.376	0.122	1.293	0.175	-0.0	0.156	0.034	1.153	0.21	0.106
7	1.0	0.093	0.037	-0.138	0.719	-0.49	0.072	1.408	0.12	-0.0	0.108	0.019	1.13	0.171	0.106
8	1.0	0.067	0.025	-0.13	0.746	-0.552	0.049	1.444	0.092	-0.0	0.084	0.013	1.23	0.153	0.107
9	1.0	0.059	0.021	-0.115	0.754	-0.551	0.041	1.402	0.085	-0.0	0.079	0.011	1.239	0.141	0.107
10	1.0	0.055	0.018	-0.101	0.76	-0.534	0.036	1.307	0.083	-0.0	0.078	0.009	1.234	0.157	0.107
11	1.0	0.049	0.016	-0.092	0.765	-0.535	0.031	1.177	0.077	-0.0	0.074	0.008	1.232	0.163	0.107
12	1.0	0.044	0.013	-0.084	0.769	-0.535	0.027	0.98	0.072	-0.0	0.07	0.007	1.224	0.149	0.107
13	1.0	0.04	0.012	-0.078	0.771	-0.533	0.024	0.746	0.069	-0.0	0.067	0.006	1.223	0.15	0.107
14	1.0	0.036	0.01	-0.072	0.775	-0.534	0.02	0.455	0.065	-0.0	0.063	0.005	1.219	0.145	0.107
15	1.0	0.034	0.009	-0.067	0.777	-0.526	0.018	0.121	0.063	-0.0	0.062	0.005	1.219	0.138	0.11
16	1.0	0.032	0.009	-0.063	0.777	-0.523	0.017	-0.268	0.061	-0.0	0.06	0.004	1.223	0.137	0.11
17	1.0	0.021	0.005	-0.061	0.813	-0.606	0.011	-0.69	0.042	-0.0	0.041	0.003	1.208	0.129	0.11
18	1.0	0.02	0.005	-0.058	0.813	-0.596	0.01	-1.098	0.042	-0.0	0.041	0.003	1.77	0.133	0.132
19	1.0	0.019	0.005	-0.054	0.813	-0.592	0.009	-1.663	0.04	-0.0	0.04	0.002	1.768	0.128	0.132
20	1.0	0.018	0.004	-0.051	0.813	-0.583	0.009	-2.201	0.04	-0.0	0.039	0.002	1.766	0.132	0.132

Hierarchical Clustering Dendrogram - gap: 0.20, Tp: 0.25, ward link

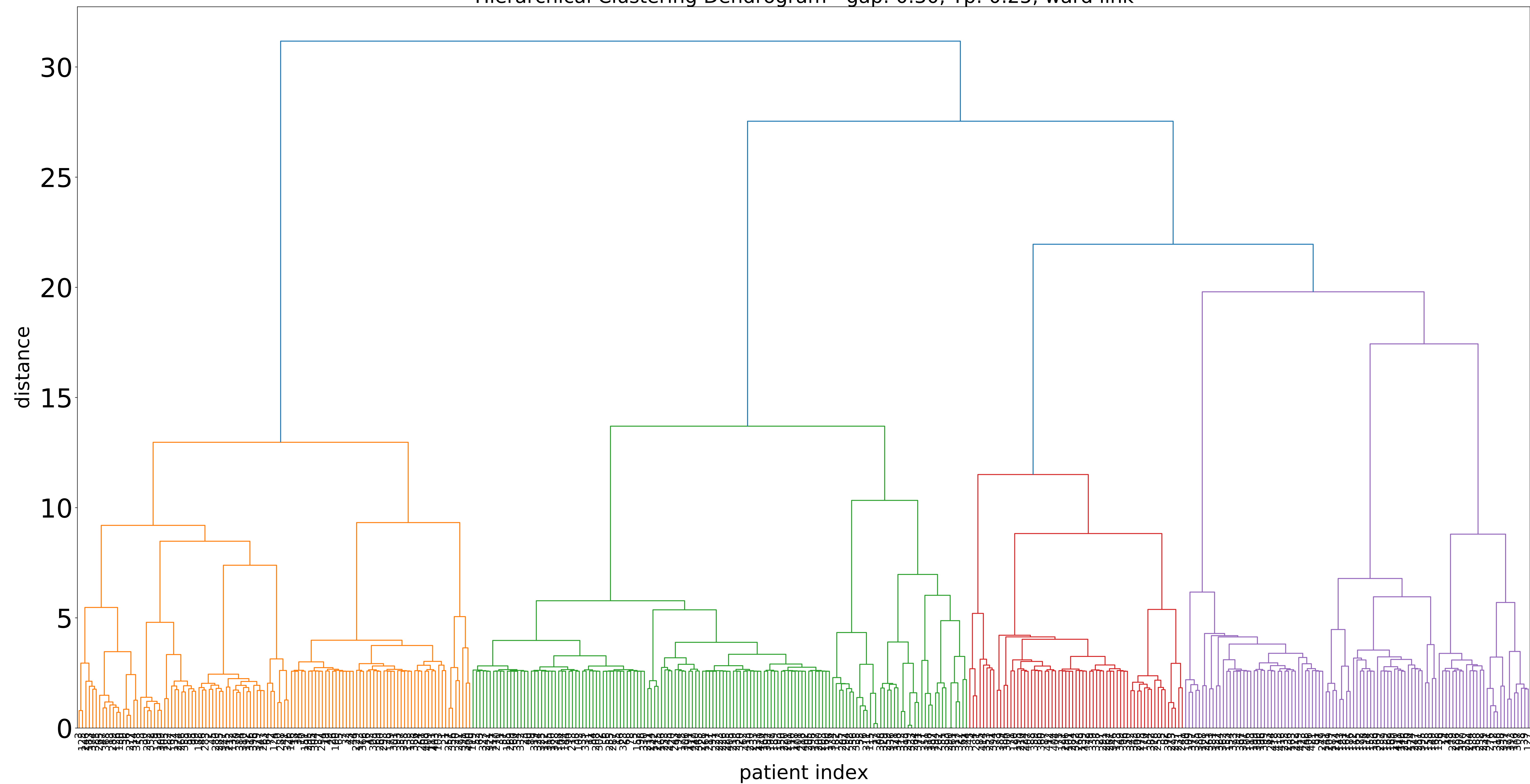


Cophenetic Correlation Coefficient: 0.6521323813451347

Average values of 15 clustering indices
gap: 0.20, Tp: 0.25, ward link

k	AR	FM	J	AW	VD	H	F	VI	K	Phi	RT	SS	CVNN	S	Dunn
2	1.0	0.628	0.456	0.215	0.309	0.191	0.626	0.523	0.629	0.0	0.426	0.296	1.045	0.175	0.141
3	1.0	0.295	0.17	-0.22	0.538	-0.296	0.29	0.899	0.299	-0.0	0.21	0.093	1.039	0.161	0.152
4	1.0	0.216	0.113	-0.193	0.587	-0.354	0.203	1.093	0.23	-0.0	0.181	0.06	1.089	0.188	0.152
5	1.0	0.179	0.086	-0.153	0.62	-0.353	0.159	1.215	0.202	-0.0	0.173	0.045	1.169	0.216	0.152
6	1.0	0.131	0.058	-0.148	0.669	-0.424	0.109	1.327	0.157	-0.0	0.139	0.03	1.132	0.195	0.152
7	1.0	0.09	0.036	-0.142	0.719	-0.506	0.07	1.419	0.115	-0.0	0.104	0.018	1.11	0.167	0.152
8	1.0	0.064	0.024	-0.13	0.748	-0.563	0.047	1.463	0.089	-0.0	0.081	0.012	1.092	0.153	0.152
9	1.0	0.058	0.02	-0.115	0.755	-0.554	0.04	1.408	0.084	-0.0	0.078	0.01	1.088	0.166	0.152
10	1.0	0.051	0.017	-0.104	0.761	-0.555	0.034	1.32	0.078	-0.0	0.073	0.009	1.089	0.159	0.152
11	1.0	0.048	0.015	-0.092	0.765	-0.54	0.03	1.175	0.076	-0.0	0.072	0.008	1.083	0.174	0.152
12	1.0	0.043	0.013	-0.085	0.77	-0.54	0.026	0.985	0.071	-0.0	0.068	0.007	1.074	0.158	0.152
13	1.0	0.041	0.012	-0.077	0.771	-0.53	0.024	0.726	0.07	-0.0	0.067	0.006	1.071	0.166	0.152
14	1.0	0.037	0.01	-0.072	0.775	-0.534	0.021	0.454	0.065	-0.0	0.063	0.005	1.067	0.161	0.152
15	1.0	0.034	0.009	-0.067	0.777	-0.525	0.019	0.133	0.063	-0.0	0.062	0.005	1.065	0.156	0.161
16	1.0	0.032	0.008	-0.062	0.778	-0.521	0.017	-0.272	0.061	-0.0	0.06	0.004	1.068	0.154	0.161
17	1.0	0.031	0.008	-0.058	0.778	-0.511	0.016	-0.665	0.061	-0.0	0.06	0.004	1.749	0.159	0.19
18	1.0	0.029	0.007	-0.055	0.779	-0.507	0.014	-1.142	0.059	-0.0	0.058	0.004	1.746	0.154	0.19
19	1.0	0.019	0.005	-0.054	0.813	-0.592	0.009	-1.664	0.04	-0.0	0.039	0.002	1.734	0.144	0.19
20	1.0	0.019	0.004	-0.051	0.812	-0.584	0.009	-2.238	0.04	-0.0	0.039	0.002	1.731	0.148	0.19

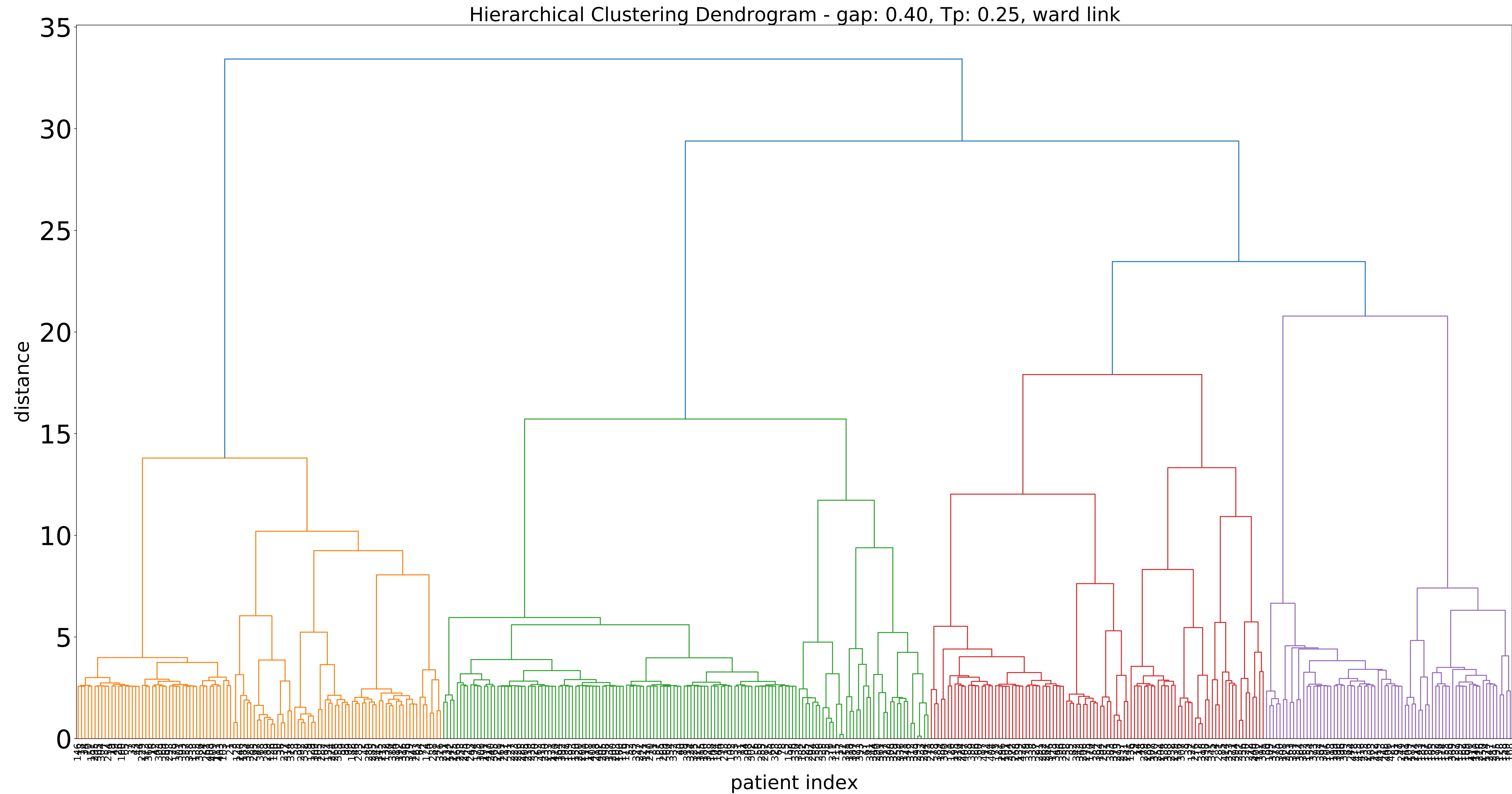
Hierarchical Clustering Dendrogram - gap: 0.30, Tp: 0.25, ward link



Cophenetic Correlation Coefficient: 0.6457931300621561

Average values of 15 clustering indices
gap: 0.30, Tp: 0.25, ward link

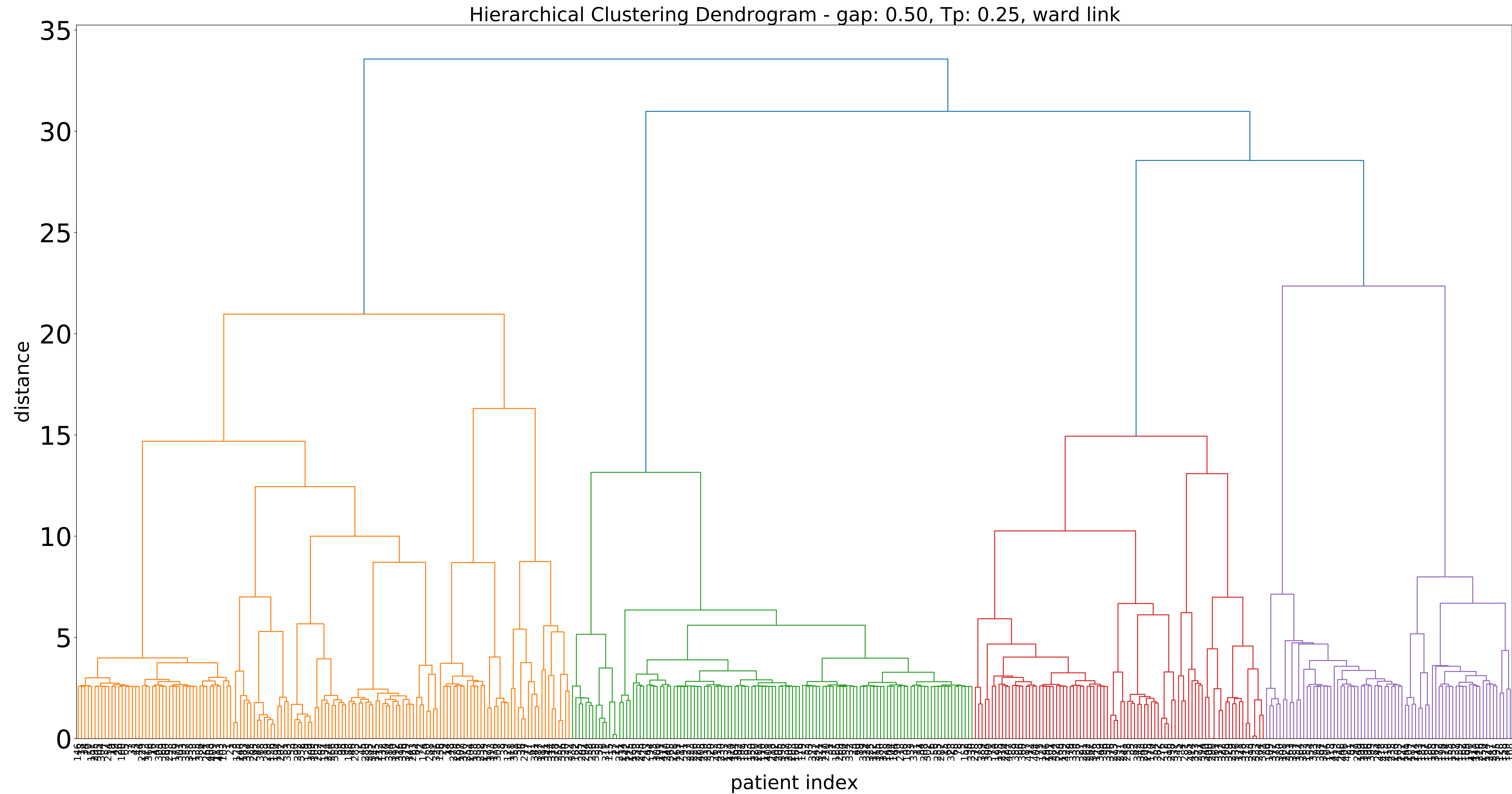
k	AR	FM	J	AW	VD	H	F	VI	K	Phi	RT	SS	CVNN	S	Dunn
2	1.0	0.623	0.451	0.212	0.316	0.192	0.622	0.529	0.624	0.0	0.426	0.292	1.034	0.186	0.171
3	1.0	0.282	0.161	-0.233	0.568	-0.318	0.278	0.909	0.287	-0.0	0.202	0.088	1.022	0.176	0.184
4	1.0	0.189	0.097	-0.217	0.624	-0.416	0.177	1.123	0.202	-0.0	0.159	0.051	1.024	0.182	0.186
5	1.0	0.152	0.072	-0.178	0.653	-0.429	0.134	1.246	0.173	-0.0	0.145	0.037	0.991	0.2	0.186
6	1.0	0.13	0.057	-0.147	0.671	-0.424	0.108	1.322	0.157	-0.0	0.138	0.029	1.06	0.211	0.19
7	1.0	0.091	0.037	-0.141	0.717	-0.502	0.071	1.412	0.117	-0.0	0.105	0.019	1.038	0.183	0.19
8	1.0	0.065	0.024	-0.129	0.747	-0.558	0.048	1.453	0.09	-0.0	0.082	0.012	1.015	0.169	0.193
9	1.0	0.059	0.021	-0.113	0.756	-0.547	0.041	1.399	0.085	-0.0	0.08	0.01	1.002	0.176	0.193
10	1.0	0.054	0.018	-0.102	0.76	-0.54	0.036	1.318	0.081	-0.0	0.077	0.009	0.998	0.187	0.205
11	1.0	0.05	0.016	-0.091	0.765	-0.528	0.031	1.169	0.079	-0.0	0.075	0.008	1.731	0.181	0.205
12	1.0	0.044	0.014	-0.084	0.769	-0.534	0.027	0.995	0.073	-0.0	0.07	0.007	1.729	0.176	0.205
13	1.0	0.04	0.012	-0.078	0.773	-0.535	0.023	0.79	0.068	-0.0	0.066	0.006	1.724	0.17	0.205
14	1.0	0.037	0.011	-0.072	0.774	-0.526	0.021	0.517	0.067	-0.0	0.065	0.005	1.72	0.169	0.205
15	1.0	0.034	0.009	-0.067	0.775	-0.528	0.019	0.156	0.063	-0.0	0.061	0.005	1.719	0.163	0.205
16	1.0	0.032	0.009	-0.062	0.776	-0.52	0.017	-0.211	0.062	-0.0	0.06	0.004	1.718	0.164	0.205
17	1.0	0.031	0.008	-0.058	0.777	-0.513	0.016	-0.648	0.06	-0.0	0.059	0.004	1.717	0.162	0.234
18	1.0	0.029	0.007	-0.055	0.779	-0.509	0.014	-1.104	0.058	-0.0	0.058	0.004	1.714	0.159	0.234
19	1.0	0.028	0.007	-0.052	0.779	-0.5	0.014	-1.631	0.058	-0.0	0.058	0.003	1.712	0.163	0.234
20	1.0	0.027	0.006	-0.049	0.78	-0.491	0.013	-2.146	0.058	-0.0	0.057	0.003	1.711	0.17	0.268



Cophenetic Correlation Coefficient: 0.6231327609033664

Average values of 15 clustering indices
gap: 0.40, Tp: 0.25, ward link

k	AR	FM	J	AW	VD	H	F	VI	K	Phi	RT	SS	CVNN	S	Dunn
2	1.0	0.638	0.468	0.241	0.304	0.216	0.637	0.519	0.64	0.0	0.439	0.306	1.025	0.2	0.195
3	1.0	0.288	0.165	-0.233	0.557	-0.313	0.283	0.903	0.292	-0.0	0.204	0.09	1.008	0.184	0.211
4	1.0	0.189	0.097	-0.222	0.623	-0.422	0.177	1.122	0.201	-0.0	0.157	0.051	0.984	0.178	0.22
5	1.0	0.157	0.074	-0.174	0.653	-0.416	0.139	1.234	0.178	-0.0	0.15	0.039	0.986	0.223	0.22
6	1.0	0.126	0.055	-0.151	0.674	-0.439	0.104	1.331	0.151	-0.0	0.133	0.028	0.985	0.199	0.22
7	1.0	0.087	0.035	-0.142	0.723	-0.514	0.067	1.425	0.112	-0.0	0.101	0.018	0.952	0.177	0.22
8	1.0	0.064	0.024	-0.131	0.747	-0.563	0.047	1.46	0.089	-0.0	0.081	0.012	0.933	0.165	0.22
9	1.0	0.058	0.021	-0.114	0.755	-0.552	0.04	1.404	0.084	-0.0	0.078	0.01	1.22	0.159	0.223
10	1.0	0.051	0.017	-0.102	0.762	-0.551	0.034	1.335	0.078	-0.0	0.074	0.009	1.208	0.149	0.223
11	1.0	0.047	0.015	-0.092	0.765	-0.544	0.03	1.173	0.075	-0.0	0.071	0.008	1.202	0.168	0.224
12	1.0	0.044	0.014	-0.084	0.769	-0.53	0.027	1.028	0.073	-0.0	0.071	0.007	1.365	0.179	0.24
13	1.0	0.04	0.012	-0.077	0.773	-0.535	0.023	0.786	0.068	-0.0	0.066	0.006	1.359	0.178	0.207
14	1.0	0.038	0.011	-0.071	0.775	-0.524	0.021	0.505	0.067	-0.0	0.065	0.005	1.69	0.184	0.241
15	1.0	0.034	0.009	-0.067	0.777	-0.527	0.018	0.168	0.063	-0.0	0.062	0.005	1.687	0.172	0.241
16	1.0	0.032	0.009	-0.062	0.777	-0.518	0.017	-0.24	0.062	-0.0	0.061	0.004	1.685	0.178	0.241
17	1.0	0.031	0.008	-0.058	0.777	-0.512	0.016	-0.639	0.061	-0.0	0.06	0.004	1.683	0.178	0.241
18	1.0	0.03	0.007	-0.054	0.778	-0.502	0.015	-1.108	0.06	-0.0	0.059	0.004	1.682	0.173	0.241
19	1.0	0.028	0.007	-0.051	0.779	-0.499	0.013	-1.608	0.058	-0.0	0.058	0.003	1.678	0.168	0.255
20	1.0	0.027	0.006	-0.049	0.779	-0.491	0.013	-2.166	0.058	-0.0	0.057	0.003	1.676	0.176	0.255

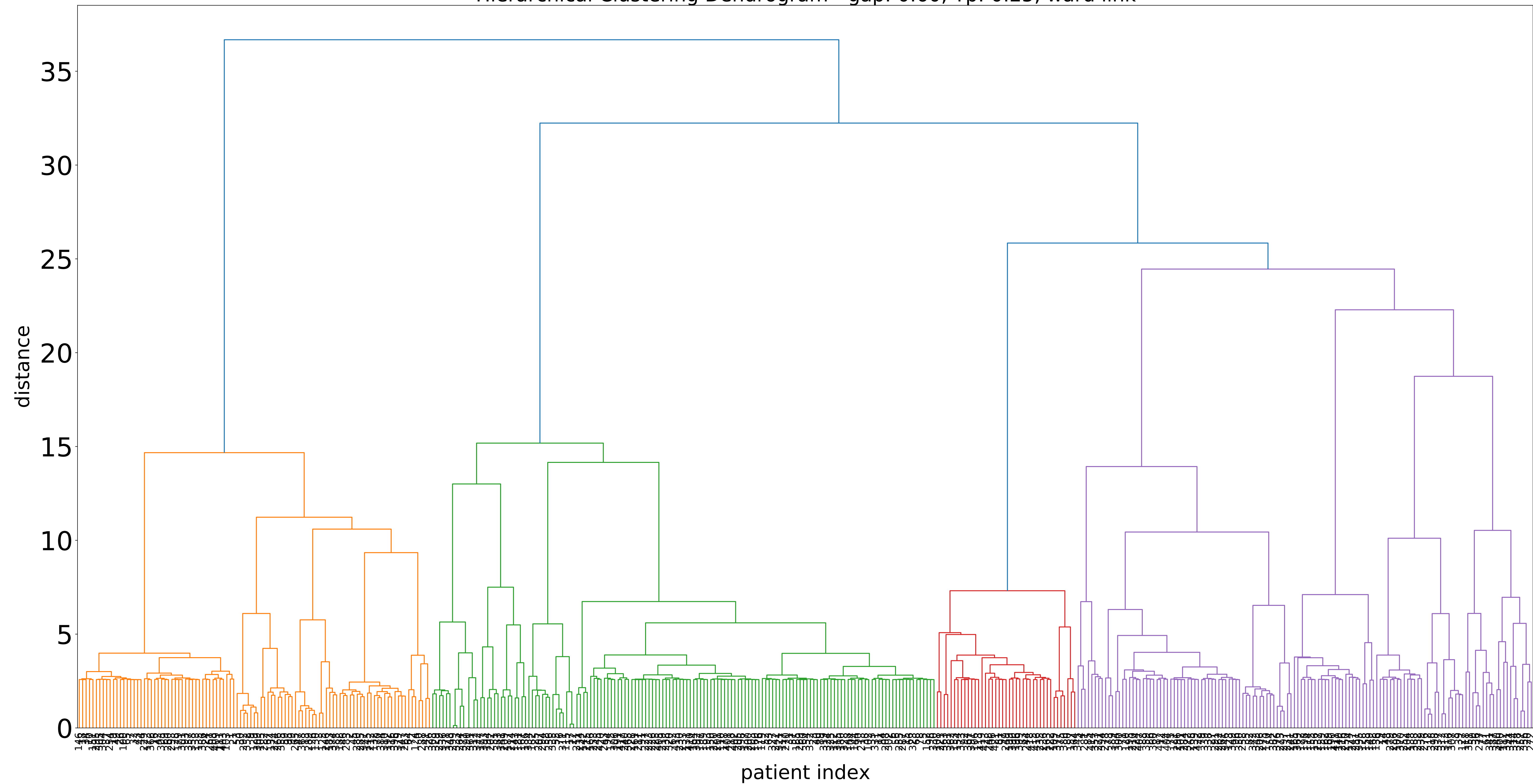


Cophenetic Correlation Coefficient: 0.6345468445636064

Average values of 15 clustering indices
gap: 0.50, Tp: 0.25, ward link

k	AR	FM	J	AW	VD	H	F	VI	K	Phi	RT	SS	CVNN	S	Dunn
2	1.0	0.569	0.397	0.095	0.356	0.084	0.567	0.554	0.57	0.0	0.373	0.248	1.046	0.149	0.196
3	1.0	0.278	0.159	-0.234	0.573	-0.324	0.273	0.913	0.283	-0.0	0.2	0.086	0.979	0.16	0.196
4	1.0	0.19	0.098	-0.218	0.626	-0.416	0.178	1.122	0.203	-0.0	0.159	0.051	0.952	0.179	0.196
5	1.0	0.157	0.074	-0.17	0.656	-0.41	0.138	1.238	0.179	-0.0	0.151	0.039	0.983	0.23	0.196
6	1.0	0.114	0.049	-0.158	0.698	-0.475	0.094	1.355	0.138	-0.0	0.121	0.025	1.067	0.204	0.182
7	1.0	0.102	0.041	-0.133	0.711	-0.459	0.079	1.381	0.13	-0.0	0.118	0.021	1.27	0.216	0.207
8	1.0	0.085	0.032	-0.117	0.722	-0.469	0.063	1.389	0.116	-0.0	0.108	0.016	1.246	0.199	0.207
9	1.0	0.065	0.023	-0.111	0.739	-0.518	0.045	1.385	0.094	-0.0	0.088	0.012	1.223	0.181	0.207
10	1.0	0.053	0.018	-0.101	0.761	-0.542	0.035	1.309	0.081	-0.0	0.076	0.009	1.205	0.188	0.207
11	1.0	0.049	0.016	-0.091	0.765	-0.529	0.031	1.191	0.078	-0.0	0.075	0.008	1.2	0.199	0.207
12	1.0	0.044	0.014	-0.084	0.768	-0.531	0.027	0.982	0.073	-0.0	0.07	0.007	1.189	0.181	0.2
13	1.0	0.039	0.012	-0.078	0.772	-0.538	0.023	0.765	0.068	-0.0	0.065	0.006	1.179	0.179	0.2
14	1.0	0.036	0.01	-0.072	0.775	-0.538	0.02	0.481	0.064	-0.0	0.062	0.005	1.175	0.167	0.2
15	1.0	0.034	0.009	-0.066	0.777	-0.527	0.018	0.142	0.063	-0.0	0.061	0.005	1.672	0.168	0.237
16	1.0	0.032	0.009	-0.062	0.778	-0.52	0.017	-0.205	0.061	-0.0	0.06	0.004	1.67	0.168	0.237
17	1.0	0.031	0.008	-0.058	0.778	-0.511	0.016	-0.614	0.06	-0.0	0.06	0.004	1.668	0.177	0.237
18	1.0	0.029	0.007	-0.055	0.778	-0.506	0.015	-1.107	0.059	-0.0	0.058	0.004	1.664	0.172	0.249
19	1.0	0.028	0.007	-0.051	0.778	-0.498	0.014	-1.576	0.059	-0.0	0.058	0.003	1.661	0.18	0.249
20	1.0	0.027	0.006	-0.048	0.78	-0.489	0.013	-2.015	0.058	-0.0	0.058	0.003	1.661	0.184	0.249

Hierarchical Clustering Dendrogram - gap: 0.60, Tp: 0.25, ward link

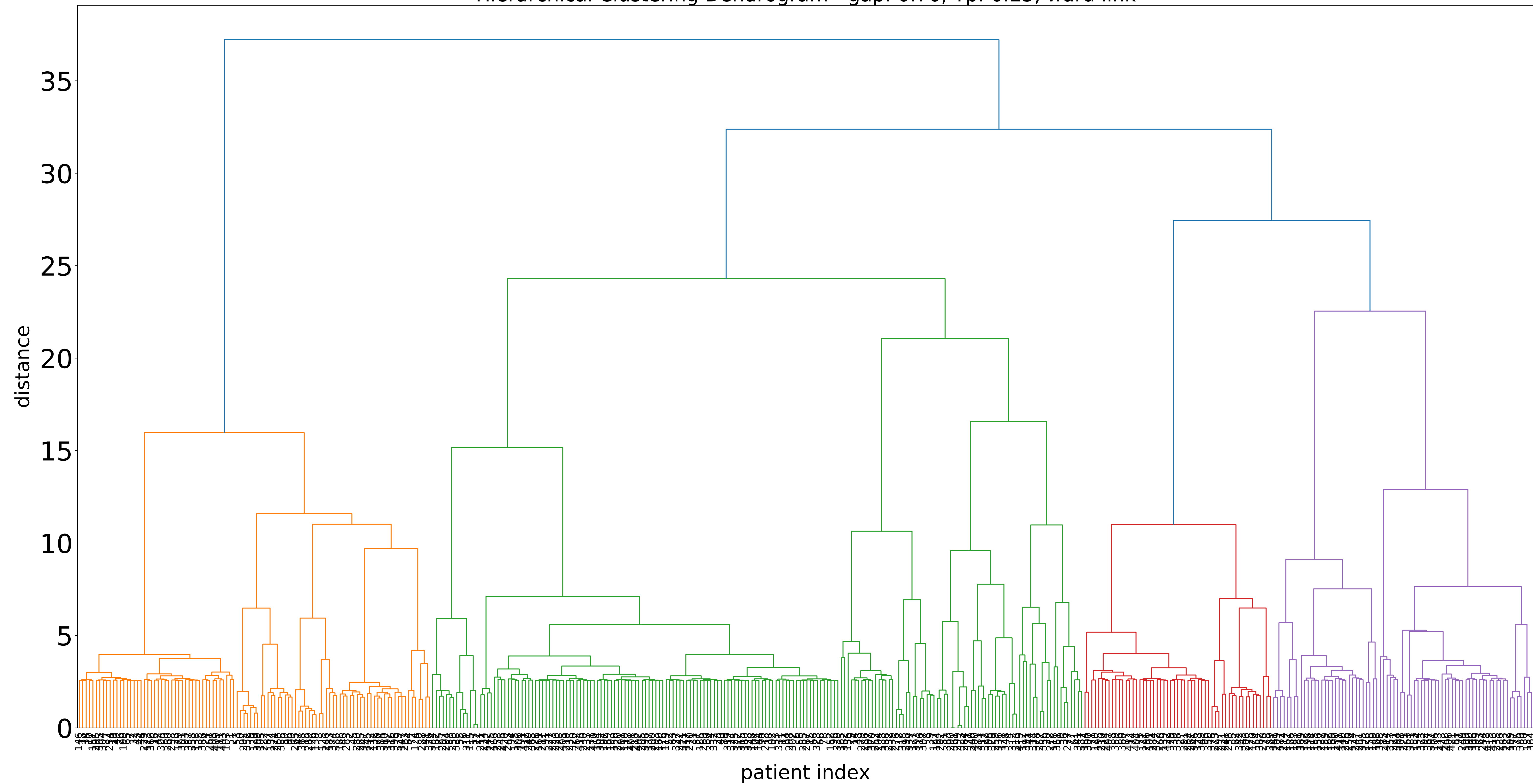


Cophenetic Correlation Coefficient: 0.6122170144326434

Average values of 15 clustering indices
gap: 0.60, Tp: 0.25, ward link

k	AR	FM	J	AW	VD	H	F	VI	K	Phi	RT	SS	CVNN	S	Dunn
2	1.0	0.647	0.477	0.262	0.302	0.237	0.645	0.516	0.648	0.0	0.45	0.314	1.026	0.21	0.167
3	1.0	0.285	0.163	-0.223	0.563	-0.308	0.28	0.907	0.29	-0.0	0.206	0.089	1.023	0.191	0.167
4	1.0	0.208	0.108	-0.196	0.619	-0.368	0.195	1.093	0.222	-0.0	0.176	0.057	1.002	0.221	0.167
5	1.0	0.149	0.07	-0.177	0.654	-0.433	0.131	1.251	0.17	-0.0	0.143	0.036	1.026	0.209	0.167
6	1.0	0.127	0.056	-0.149	0.672	-0.433	0.105	1.334	0.153	-0.0	0.135	0.029	1.004	0.222	0.196
7	1.0	0.113	0.046	-0.126	0.686	-0.421	0.089	1.358	0.144	-0.0	0.131	0.024	1.303	0.221	0.196
8	1.0	0.084	0.032	-0.119	0.723	-0.477	0.062	1.402	0.114	-0.0	0.106	0.016	1.27	0.191	0.199
9	1.0	0.064	0.023	-0.111	0.739	-0.521	0.045	1.393	0.093	-0.0	0.087	0.012	1.252	0.176	0.199
10	1.0	0.052	0.017	-0.102	0.761	-0.545	0.034	1.325	0.079	-0.0	0.075	0.009	1.233	0.191	0.199
11	1.0	0.048	0.015	-0.091	0.766	-0.537	0.03	1.178	0.076	-0.0	0.073	0.008	1.354	0.195	0.199
12	1.0	0.045	0.014	-0.083	0.768	-0.527	0.027	0.989	0.074	-0.0	0.071	0.007	1.348	0.195	0.199
13	1.0	0.04	0.012	-0.077	0.772	-0.533	0.023	0.775	0.069	-0.0	0.066	0.006	1.341	0.187	0.199
14	1.0	0.037	0.01	-0.071	0.775	-0.528	0.021	0.482	0.066	-0.0	0.064	0.005	1.336	0.186	0.193
15	1.0	0.035	0.01	-0.066	0.776	-0.517	0.019	0.152	0.065	-0.0	0.064	0.005	1.645	0.184	0.241
16	1.0	0.032	0.008	-0.062	0.778	-0.521	0.017	-0.207	0.061	-0.0	0.06	0.004	1.636	0.183	0.241
17	1.0	0.03	0.008	-0.058	0.778	-0.515	0.015	-0.652	0.06	-0.0	0.059	0.004	1.632	0.189	0.241
18	1.0	0.029	0.007	-0.055	0.778	-0.508	0.014	-1.118	0.059	-0.0	0.058	0.004	1.63	0.188	0.241
19	1.0	0.028	0.007	-0.051	0.778	-0.499	0.014	-1.638	0.058	-0.0	0.058	0.003	1.629	0.182	0.241
20	1.0	0.027	0.006	-0.048	0.779	-0.492	0.013	-2.173	0.057	-0.0	0.057	0.003	1.624	0.18	0.241

Hierarchical Clustering Dendrogram - gap: 0.70, Tp: 0.25, ward link

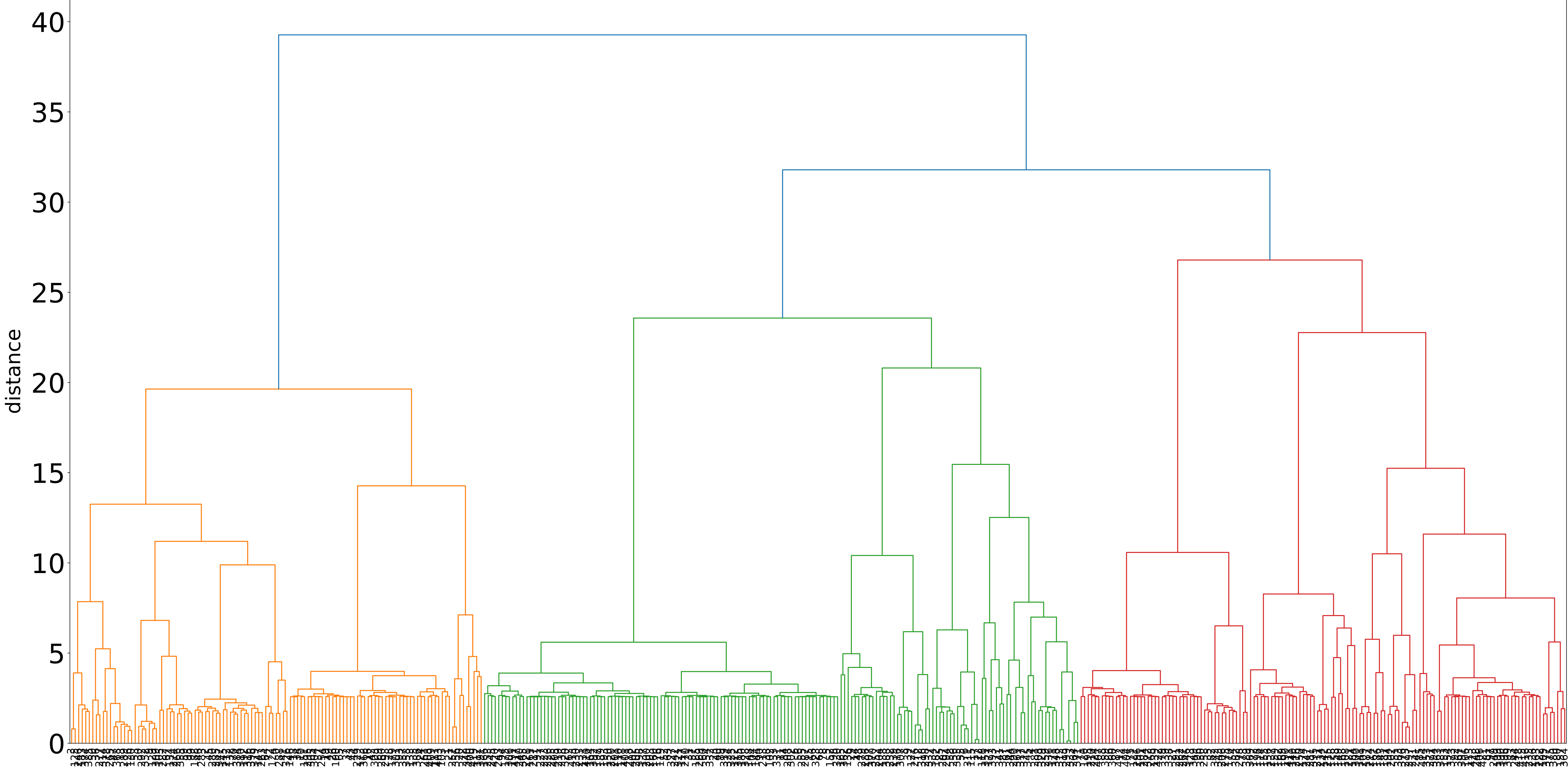


Cophenetic Correlation Coefficient: 0.61481513535827

Average values of 15 clustering indices
gap: 0.70, Tp: 0.25, ward link

k	AR	FM	J	AW	VD	H	F	VI	K	Phi	RT	SS	CVNN	S	Dunn
2	1.0	0.649	0.479	0.264	0.298	0.237	0.647	0.514	0.65	0.0	0.45	0.316	1.019	0.207	0.167
3	1.0	0.304	0.177	-0.205	0.523	-0.275	0.3	0.893	0.309	-0.0	0.218	0.097	0.966	0.185	0.189
4	1.0	0.224	0.118	-0.178	0.576	-0.33	0.21	1.09	0.238	-0.0	0.19	0.062	0.931	0.218	0.189
5	1.0	0.129	0.06	-0.194	0.682	-0.493	0.113	1.287	0.148	-0.0	0.123	0.031	0.954	0.184	0.189
6	1.0	0.109	0.047	-0.161	0.701	-0.49	0.089	1.369	0.132	-0.0	0.116	0.024	0.927	0.213	0.189
7	1.0	0.092	0.037	-0.139	0.713	-0.493	0.072	1.413	0.119	-0.0	0.108	0.019	0.94	0.205	0.199
8	1.0	0.083	0.032	-0.12	0.722	-0.482	0.061	1.395	0.113	-0.0	0.105	0.016	1.24	0.194	0.2
9	1.0	0.064	0.022	-0.111	0.739	-0.525	0.044	1.389	0.092	-0.0	0.086	0.011	1.218	0.181	0.2
10	1.0	0.051	0.017	-0.102	0.762	-0.549	0.034	1.318	0.078	-0.0	0.074	0.009	1.195	0.196	0.2
11	1.0	0.048	0.015	-0.091	0.766	-0.535	0.03	1.182	0.077	-0.0	0.073	0.008	1.186	0.21	0.2
12	1.0	0.043	0.013	-0.084	0.77	-0.54	0.026	0.996	0.071	-0.0	0.068	0.007	1.178	0.201	0.2
13	1.0	0.04	0.012	-0.078	0.773	-0.535	0.023	0.75	0.068	-0.0	0.066	0.006	1.173	0.197	0.194
14	1.0	0.036	0.01	-0.072	0.775	-0.538	0.02	0.457	0.064	-0.0	0.062	0.005	1.163	0.191	0.194
15	1.0	0.034	0.009	-0.066	0.776	-0.526	0.019	0.096	0.063	-0.0	0.062	0.005	1.633	0.188	0.233
16	1.0	0.032	0.009	-0.062	0.778	-0.52	0.017	-0.246	0.061	-0.0	0.06	0.004	1.628	0.193	0.233
17	1.0	0.031	0.008	-0.058	0.778	-0.513	0.016	-0.669	0.06	-0.0	0.059	0.004	1.625	0.19	0.233
18	1.0	0.029	0.007	-0.055	0.779	-0.506	0.014	-1.143	0.059	-0.0	0.058	0.004	1.622	0.19	0.233
19	1.0	0.028	0.007	-0.051	0.78	-0.501	0.013	-1.671	0.057	-0.0	0.057	0.003	1.617	0.188	0.238
20	1.0	0.027	0.006	-0.049	0.78	-0.493	0.013	-2.249	0.057	-0.0	0.057	0.003	1.616	0.191	0.238

Hierarchical Clustering Dendrogram - gap: 0.80, Tp: 0.25, ward link



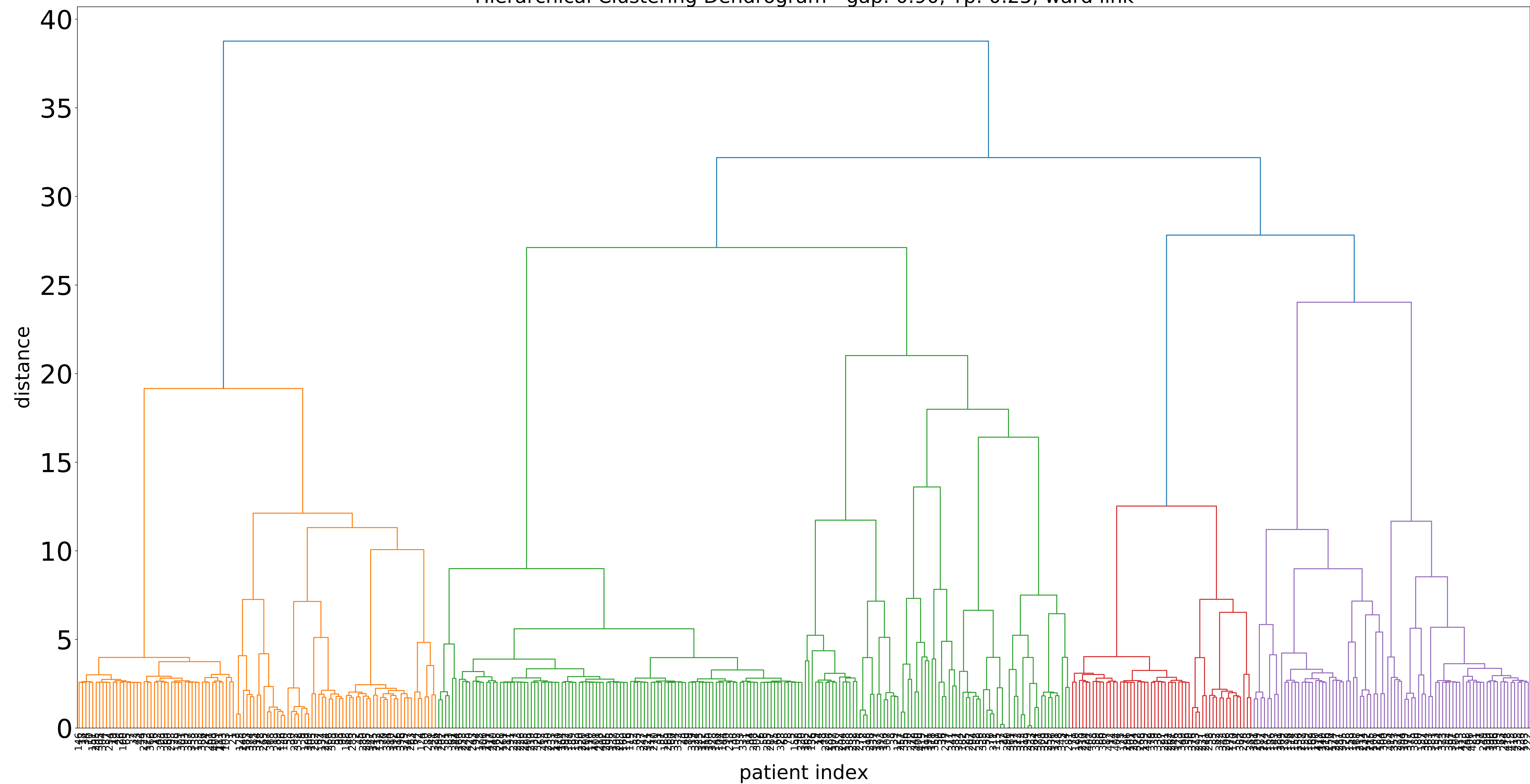
patient index

Cophenetic Correlation Coefficient: 0.5974043453956946

Average values of 15 clustering indices
gap: 0.80, Tp: 0.25, ward link

k	AR	FM	J	AW	VD	H	F	VI	K	Phi	RT	SS	CVNN	S	Dunn
2	1.0	0.621	0.45	0.208	0.317	0.187	0.62	0.529	0.622	0.0	0.424	0.291	1.051	0.196	0.194
3	1.0	0.287	0.164	-0.219	0.552	-0.303	0.282	0.907	0.292	-0.0	0.207	0.09	0.982	0.174	0.227
4	1.0	0.21	0.109	-0.192	0.597	-0.362	0.197	1.101	0.224	-0.0	0.178	0.058	0.945	0.203	0.227
5	1.0	0.127	0.059	-0.198	0.689	-0.501	0.111	1.292	0.145	-0.0	0.121	0.03	0.998	0.174	0.227
6	1.0	0.104	0.044	-0.163	0.708	-0.506	0.085	1.38	0.126	-0.0	0.111	0.023	0.964	0.191	0.227
7	1.0	0.087	0.035	-0.141	0.721	-0.51	0.068	1.425	0.113	-0.0	0.102	0.018	0.993	0.192	0.227
8	1.0	0.062	0.023	-0.13	0.755	-0.57	0.045	1.47	0.086	-0.0	0.079	0.012	0.947	0.191	0.227
9	1.0	0.056	0.02	-0.115	0.76	-0.561	0.039	1.413	0.082	-0.0	0.076	0.01	0.935	0.208	0.227
10	1.0	0.05	0.017	-0.102	0.766	-0.556	0.033	1.34	0.077	-0.0	0.072	0.008	0.915	0.199	0.227
11	1.0	0.046	0.015	-0.092	0.77	-0.547	0.029	1.197	0.074	-0.0	0.07	0.007	1.67	0.191	0.227
12	1.0	0.041	0.012	-0.085	0.775	-0.551	0.025	1.004	0.068	-0.0	0.065	0.006	1.655	0.194	0.191
13	1.0	0.039	0.011	-0.078	0.777	-0.54	0.023	0.782	0.067	-0.0	0.065	0.006	1.649	0.196	0.231
14	1.0	0.037	0.01	-0.072	0.779	-0.529	0.021	0.493	0.066	-0.0	0.064	0.005	1.641	0.21	0.231
15	1.0	0.033	0.009	-0.067	0.781	-0.532	0.018	0.158	0.061	-0.0	0.061	0.005	1.634	0.199	0.231
16	1.0	0.031	0.008	-0.063	0.783	-0.531	0.016	-0.247	0.059	-0.0	0.058	0.004	1.627	0.193	0.231
17	1.0	0.03	0.008	-0.058	0.783	-0.521	0.015	-0.663	0.058	-0.0	0.057	0.004	1.624	0.192	0.231
18	1.0	0.028	0.007	-0.055	0.783	-0.515	0.014	-1.18	0.057	-0.0	0.056	0.003	1.619	0.198	0.231
19	1.0	0.027	0.006	-0.052	0.783	-0.509	0.013	-1.685	0.056	-0.0	0.055	0.003	1.616	0.195	0.231
20	1.0	0.025	0.006	-0.049	0.784	-0.507	0.012	-2.242	0.054	-0.0	0.054	0.003	1.609	0.189	0.231

Hierarchical Clustering Dendrogram - gap: 0.90, Tp: 0.25, ward link

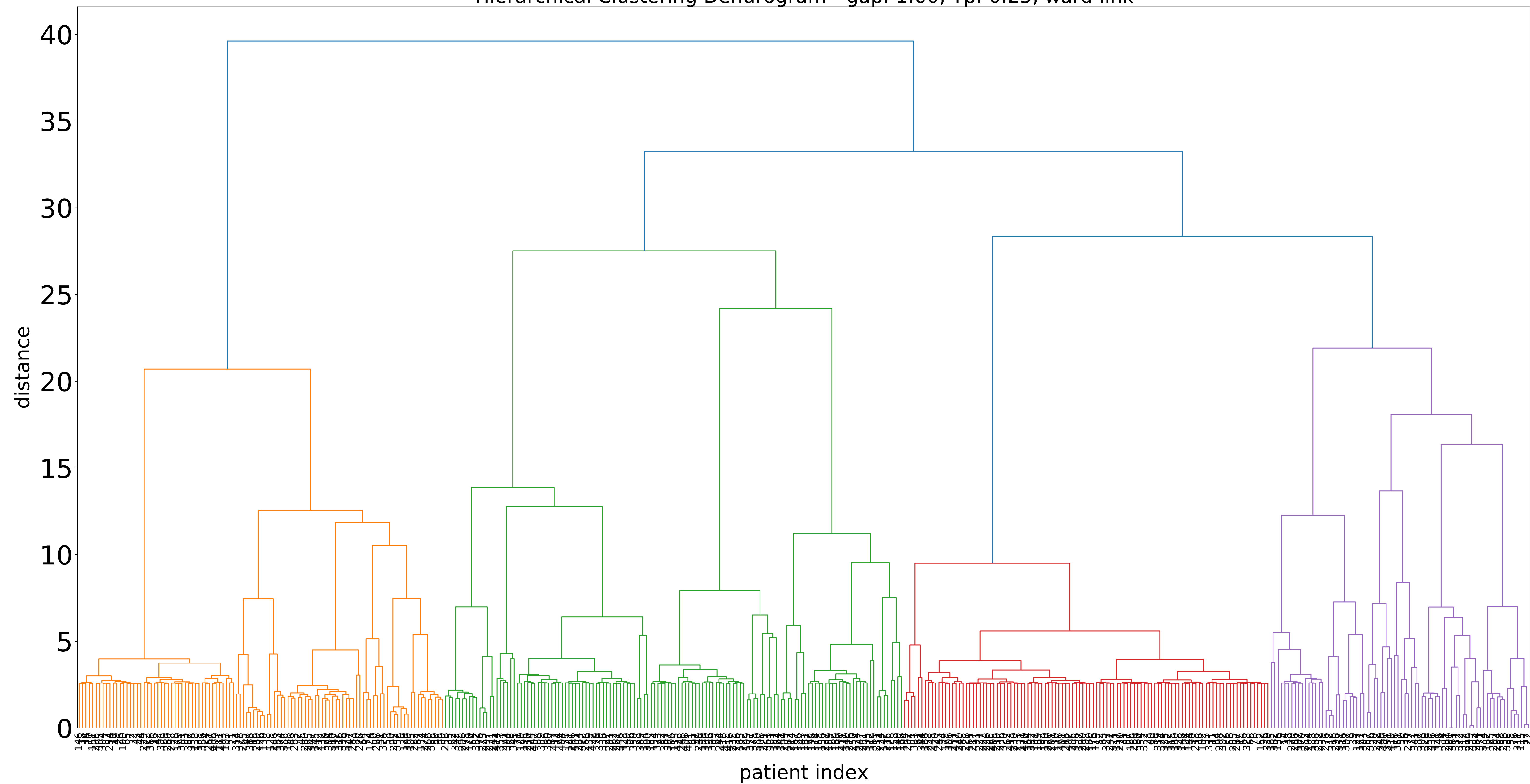


Cophenetic Correlation Coefficient: 0.584622149912175

Average values of 15 clustering indices
gap: 0.90, Tp: 0.25, ward link

k	AR	FM	J	AW	VD	H	F	VI	K	Phi	RT	SS	CVNN	S	Dunn
2	1.0	0.64	0.47	0.254	0.309	0.233	0.639	0.522	0.641	0.0	0.447	0.308	1.019	0.204	0.178
3	1.0	0.298	0.172	-0.207	0.533	-0.283	0.293	0.9	0.303	-0.0	0.215	0.094	1.008	0.179	0.191
4	1.0	0.219	0.114	-0.182	0.582	-0.34	0.205	1.093	0.233	-0.0	0.186	0.061	0.975	0.21	0.191
5	1.0	0.124	0.057	-0.198	0.693	-0.506	0.109	1.294	0.143	-0.0	0.119	0.03	1.025	0.176	0.191
6	1.0	0.103	0.044	-0.163	0.712	-0.506	0.085	1.377	0.126	-0.0	0.11	0.023	0.994	0.2	0.191
7	1.0	0.086	0.034	-0.142	0.724	-0.516	0.067	1.424	0.112	-0.0	0.1	0.018	1.046	0.19	0.19
8	1.0	0.064	0.024	-0.129	0.748	-0.562	0.046	1.468	0.088	-0.0	0.081	0.012	1.017	0.194	0.19
9	1.0	0.057	0.02	-0.113	0.755	-0.554	0.039	1.412	0.083	-0.0	0.077	0.01	1.199	0.178	0.211
10	1.0	0.052	0.017	-0.101	0.761	-0.544	0.034	1.309	0.08	-0.0	0.075	0.009	1.191	0.211	0.211
11	1.0	0.049	0.016	-0.09	0.764	-0.528	0.031	1.169	0.078	-0.0	0.075	0.008	1.658	0.218	0.248
12	1.0	0.044	0.014	-0.083	0.769	-0.528	0.027	0.993	0.074	-0.0	0.071	0.007	1.649	0.213	0.248
13	1.0	0.04	0.012	-0.077	0.771	-0.529	0.023	0.747	0.07	-0.0	0.067	0.006	1.639	0.207	0.229
14	1.0	0.038	0.011	-0.071	0.774	-0.521	0.021	0.477	0.067	-0.0	0.066	0.005	1.634	0.208	0.229
15	1.0	0.036	0.01	-0.065	0.776	-0.51	0.02	0.149	0.067	-0.0	0.065	0.005	1.627	0.219	0.229
16	1.0	0.033	0.009	-0.062	0.776	-0.513	0.017	-0.265	0.063	-0.0	0.062	0.004	1.62	0.215	0.229
17	1.0	0.031	0.008	-0.058	0.778	-0.509	0.016	-0.696	0.061	-0.0	0.06	0.004	1.612	0.215	0.24
18	1.0	0.029	0.007	-0.054	0.778	-0.503	0.015	-1.154	0.06	-0.0	0.059	0.004	1.609	0.211	0.24
19	1.0	0.027	0.006	-0.052	0.784	-0.509	0.013	-1.671	0.056	-0.0	0.055	0.003	1.596	0.203	0.24
20	1.0	0.025	0.006	-0.049	0.784	-0.508	0.012	-2.255	0.054	-0.0	0.053	0.003	1.589	0.198	0.24

Hierarchical Clustering Dendrogram - gap: 1.00, Tp: 0.25, ward link



Cophenetic Correlation Coefficient: 0.5779002217677486

Average values of 15 clustering indices
gap: 1.00, Tp: 0.25, ward link

k	AR	FM	J	AW	VD	H	F	VI	K	Phi	RT	SS	CVNN	S	Dunn
2	1.0	0.639	0.469	0.246	0.306	0.221	0.638	0.52	0.64	0.0	0.442	0.307	1.05	0.202	0.177
3	1.0	0.297	0.172	-0.212	0.533	-0.287	0.293	0.899	0.302	-0.0	0.214	0.094	0.998	0.18	0.212
4	1.0	0.175	0.089	-0.233	0.65	-0.454	0.163	1.139	0.187	-0.0	0.145	0.046	1.097	0.151	0.212
5	1.0	0.124	0.057	-0.199	0.692	-0.507	0.109	1.296	0.143	-0.0	0.119	0.03	1.035	0.17	0.212
6	1.0	0.105	0.045	-0.163	0.709	-0.502	0.086	1.374	0.128	-0.0	0.112	0.023	1.01	0.205	0.212
7	1.0	0.087	0.035	-0.14	0.724	-0.51	0.067	1.427	0.113	-0.0	0.102	0.018	1.012	0.197	0.21
8	1.0	0.065	0.024	-0.13	0.746	-0.559	0.047	1.46	0.09	-0.0	0.082	0.012	0.979	0.205	0.21
9	1.0	0.058	0.02	-0.113	0.755	-0.55	0.04	1.413	0.084	-0.0	0.079	0.01	1.503	0.191	0.21
10	1.0	0.053	0.018	-0.1	0.761	-0.538	0.035	1.303	0.081	-0.0	0.077	0.009	1.496	0.224	0.21
11	1.0	0.048	0.015	-0.092	0.764	-0.539	0.03	1.167	0.076	-0.0	0.072	0.008	1.483	0.226	0.21
12	1.0	0.045	0.014	-0.083	0.768	-0.524	0.027	0.99	0.075	-0.0	0.072	0.007	1.646	0.231	0.245
13	1.0	0.042	0.013	-0.076	0.771	-0.513	0.025	0.781	0.073	-0.0	0.071	0.006	1.639	0.236	0.245
14	1.0	0.038	0.011	-0.07	0.774	-0.516	0.022	0.478	0.069	-0.0	0.067	0.005	1.626	0.229	0.227
15	1.0	0.036	0.01	-0.065	0.775	-0.508	0.02	0.172	0.067	-0.0	0.066	0.005	1.62	0.23	0.227
16	1.0	0.033	0.009	-0.062	0.776	-0.513	0.017	-0.268	0.063	-0.0	0.062	0.004	1.612	0.223	0.227
17	1.0	0.031	0.008	-0.058	0.778	-0.508	0.016	-0.683	0.061	-0.0	0.06	0.004	1.605	0.224	0.24
18	1.0	0.029	0.007	-0.054	0.778	-0.503	0.015	-1.139	0.059	-0.0	0.059	0.004	1.601	0.223	0.24
19	1.0	0.028	0.007	-0.051	0.778	-0.496	0.014	-1.709	0.059	-0.0	0.058	0.003	1.596	0.218	0.24
20	1.0	0.025	0.006	-0.049	0.784	-0.504	0.012	-2.249	0.054	-0.0	0.054	0.003	1.582	0.211	0.24